

18/90

وزارة التعليم العالي
MINISTRE DE L'ENSEIGNEMENT SUPERIEUR

ECOLE NATIONALE POLYTECHNIQUE

DEPARTEMENT : MECANIQUE

المدرسة الوطنية المتعددة التقنيات
BIBLIOTHEQUE — المكتبة
Ecole Nationale Polytechnique

1ex

PROJET DE FIN D'ETUDES

SUJET

CONCEPTION D'UN PONT ARRIERE

+ ANNEXE

Proposé par : Mfaoussi Etudié par : SEDIK Dirigé par : M faoussi
boubakeur

PROMOTION : JUIN 90

الجمهورية الجزائرية الديمقراطية الشعبية
REPUBLIQUE ALGERIENNE DEMOCRATIQUE ET POPULAIRE

وزارة التعليم العالي
MINISTERE DE L'ENSEIGNEMENT SUPERIEUR

ECOLE NATIONALE POLYTECHNIQUE

DEPARTEMENT : MECANIQUE

المدرسة الوطنية المتعددة التقنيات
المكتبة — BIBLIOTHEQUE
Ecole Nationale Polytechnique

PROJET DE FIN D'ETUDES

SUJET

CONCEPTION D'UN PONT ARRIERE

Proposé par : M faoussi Etudié par : SEDIK Dirigé par : M faoussi
boubakeur

à ma mère
à mon père
à nedjma
à ahmed
à mes soeurs
à mes amis

mes sincères remerciements
à mon promoteur monsieur
MESSAOUD faoussi

1	INTRODUCTION	
1.1	PRESENTATION ET OBJECTIF DU SUJET	
1.2	NECESSITE D UN PONT	
1.3	CATEGORIES DE PONTS	
1.4	PLAN DU TRAVAIL	10
2	CALCUL D ENGRENAGE	13
2.1	TYPE D ENGRENAGE	14
2.1.1	ENGRENAGE PIGNON D ATTAQUE:CO	14
2.1.2	LE BOITIER DU DIFFERENTIEL	14
2.1.3	TRAIN D ENGRENAGE	15
2.2	CALCUL D ENGRENAGE	15
2.2.1	PARAMETRES DE BASE	16
2.2.2	COUPLE PIGNON D ATTAQUE:COURONNE	16
2.2.2.1	CALCUL DE DIMENSIONS DE L ENGRENAGE	16
2.2.2.2	CALCUL D ENGRENEMENT	19
2.2.2.3	CORRECTION DE DENTURE	21
2.2.2.4	CALCUL DE DENTURE	25
2.3	CALCUL D ENGRENAGE DU DIFFERENTIEL	33
2.4	CALCUL D ENGRENAGE DU TRAIN PLANETAIRE PLAN	42
2.5	CALCUL D ENGRENAGE DU TRAIN PLANETAIRE SPHERIQUE	50
2.6	LUBRIFICATION	52
3	CALCUL D ARBRE	54
3.1	EFFORTS SUR LE PIGNON ET LA ROUE	54
3.1.1	EFFORTS SUR LA ROUE	56
3.1.2	EFFORTS SUR LE PIGNON	57
3.2	EFFORTS SUR LES ARBRES ET LES PALIERS	57
3.2.1	EFFORTS SUR LES PALIERS	57
3.2.2	EFFORTS SUR LES ARBRES	63
3.3	CALCUL D ARBRE	64
3.3.1	CALCUL DU DIAMETRE MINIMUM DE L ARBRE PIGNON	64
3.3.2	CALCUL DU DIAMETRE MINIMUM DU DEMI ARBRE MOTEUR	67
3.4	CALCUL DE CANNELURES	69



4	CALCUL DE ROULEMENTS	73
4.1	DISPOSITION DE L'ARBRE MOTEUR DE L'ESSIEU	74
4.1.1	ESSIEU SEMI FLOTTANT	74
4.1.2	ESSIEU TROIS QUARTS FLOTTANT	75
4.1.3	ESSIEU ENTIEREMENT FLOTTANT	76
4.2	DISPOSITION DU COUPLE PIGNON:COURONNE	77
4.2.1	MONTAGE DE LA COURONNE	77
4.2.2	MONTAGE DU PIGNON	77
4.3	DETERMINATION DES DIMENSIONS DES ROULEMENTS	78
4.3.1	PARAMETRES DE BASE	78
4.3.2	CALCUL DE LA CHARGE DYNAMIQUE EQUIVALENTE	79
4.3.3	DUREE DE VIE NOMINALE EN HEURES	83
4.3.4	AJUSTEMENT	83
	ORGANIGRAMME	85
	BIBLIOGRAPHIE	90
	TABLEAUX DES VALEURS	91
	PROGRAMME en ANNEXE	

دراسة تحديد أبعاد جسر ذي تبغير مضاعف
في سلسلة الحركة للمشاحنات

الدرسة الوطنية المتعددة التقنيات
المكتبة - BIBLIOTHEQUE
Ecole Nationale Polytechnique

الملخص :

تتمثل هذه الدراسة في تحديد أبعاد جسر ذي تبغير مضاعف، يد حل في تركيب سلسلة الحركة للمشاحنات، حيث تم إعداد برمجية معلوماتية لإجراء الحسابات المتعلقة بتحديد العناصر الرئيسية للجسر، بالهدف التي تملكه من تكيف الشحنة مع ظروف سير معينة .
وقد استعملت نتائج هذه الحسابات لإعداد رسم يمثل هذا الجسر بواسطة قطعة طويلة .

Résumé :

Cette étude consiste à dimensionner un pont à double démultiplication, d'une chaîne cinématique d'un véhicule .
Un programme informatique a été élaboré pour effectuer les calculs relatifs à la détermination des dimensions des organes essentiels de ce pont, de manière à adapter le véhicule à des conditions de marche déterminées .
Les résultats de ces calculs ont été exploités pour effectuer un dessin représentant le pont par une coupe longitudinale .

This study consists into dimension a double reduction bridge, of a vehicle cinematic chain .

A computing program was elaborated to do the calculations relating to the determination of the essential component parts of this bridge, so as to adapt the vehicle to determined work conditions . The results of these calculations was used to make a drawing, presenting the bridge by a longitudinal cutting .

chapitre 1

INTRODUCTION

CHAPITRE 1 : INTRODUCTION.

1-1 PRÉSENTATION ET OBJECTIF DU SUJET:

Le système qui assure le mouvement d'un véhicule est composé de deux parties essentielles:

- Le moteur qui assure la propulsion du véhicule.
- La chaîne de transmission, qui assure l'adaptation du mouvement de ce véhicule aux conditions de marche.

Cette chaîne est dans sa configuration générale, composée d'une boîte de vitesses, d'une boîte de transfert et un ou plusieurs ponts identiques.

Les constructeurs de véhicules de transport routier, procèdent au couplage des éléments mentionnés ci-dessus pour fabriquer leurs camions.

Ces camions doivent avoir les performances routières qui leurs permettront de fonctionner d'une façon satisfaisante dans leurs conditions d'utilisation.

Pour vérifier les performances requises par un véhicule, le constructeur le simule dans des conditions quasi-semblables aux conditions de son utilisation.

Cette simulation peut-être envisagée en deux volets:

- A partir d'un stock comportant tous les éléments nécessaires pour constituer une chaîne de transmission complète, en plusieurs variantes.

1.2 NÉCESSITÉ D'UN PONT [6]

La transmission de mouvement à partir de la source productrice (le moteur), aux organes utilisateurs (les roues), comporte une série de fonctions dont trois sont remplies par un système appelé "PONT."

Celui-ci représente les fonctions suivantes :

- Permet de transmettre le mouvement de l'arbre moteur, provenant de la boîte de vitesses (ou la boîte de transfert) aux arbres des roues (ou demi-arbres) motrices ; ces deux types d'arbres sont à axes concourants (perpendiculaires), ce qui rend nécessaire la présence d'un couple d'engrenage (pignon d'attaque / couronné) à axe concourant, faisant partie de ce même pont.

- Assure une multiplication du couple moteur provenant de la boîte de vitesses (ou la boîte de transfert), ce qui permet de diminuer la concentration de l'encombrement dans un seul endroit, et ce en réduisant les dimensions des organes constituant la boîte de vitesses.

- Permet au véhicule de traverser les virages où la roue extérieure tourne plus vite que la roue intérieure. Du fait que, la distance parcourue par la première est supérieure à celle parcourue par la seconde roue, pendant un même temps. (fig 1.1).

En effet, dans un virage
de rayons R_e et R_i

$$(R_e > R_i)$$

$$N_e = \frac{R_e}{R_i} N_i \left[\frac{tr}{\text{moteur}} \right] \quad (1.1)$$

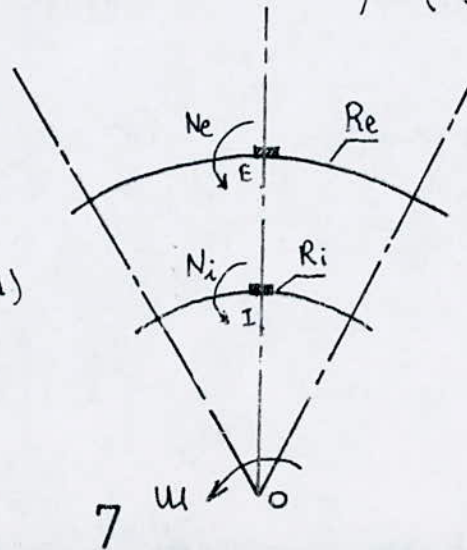


FIG 11

Dans ce cas le constructeur procède au couplage de ces éléments et simule la marche du véhicule correspondant afin de vérifier son aptitude à répondre aux conditions exprimées par l'utilisateur, ou par le biais du service de marketing.

- A partir d'un stock où les éléments nécessaires pour constituer une chaîne de transmission complète, ne sont pas tous disponibles; l'élément manquant peut être:

- Un pont.
- Une boîte de transfert.
- Une boîte de vitesses.

Dans ce cas le véhicule sera simulé en deux étapes:

- 1 - La détermination des caractéristiques de l'élément manquant.
- 2 - Le couplage de cet élément (représenté par ses caractéristiques cinématiques) avec le reste de la transmission, pour constituer un système complet de propulsion et procéder à la simulation du véhicule correspondant.

Les caractéristiques cinématiques déterminées dans la première étape constituent la donnée-condition, pour l'étude dimensionnelle de l'élément manquant, qui consiste pour le travail que nous envisageons: Un Pont.

L'objectif de notre sujet est donc de faire une première approche d'une étude dimensionnelle d'un pont servant à compléter un système de propulsion d'un véhicule de transport.

A cet effet un logiciel sera élaboré pour effectuer les différentes opérations relatives à cette étude.

1.3 CATEGORIES DE PONTS [6]

L'une des fonctions du PONT, comme on le sait, est d'assurer une multiplication du couple, qu'il reçoit de l'élément précédent, dans la chaîne de transmission.

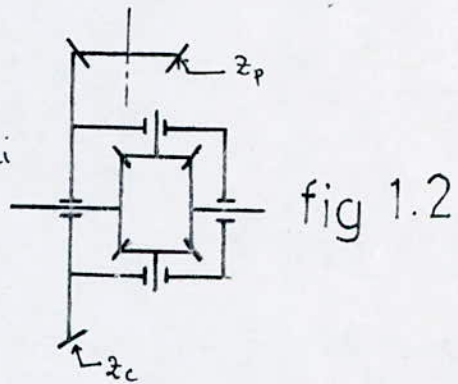
Cette multiplication du couple, correspond à une démultiplication de vitesse exprimée par un rapport de transmission.

Ce rapport peut-être obtenu de trois manières :

$$- Q_p = \frac{z_c}{z_p} \quad (1.2)$$

Dans ce cas le pont est dit à simple démultiplication. (fig 1.2)

Le rapport est alors concentré au niveau du différentiel, il est égal au nombre de dent de la couronne sur celui du pignon d'attaque.

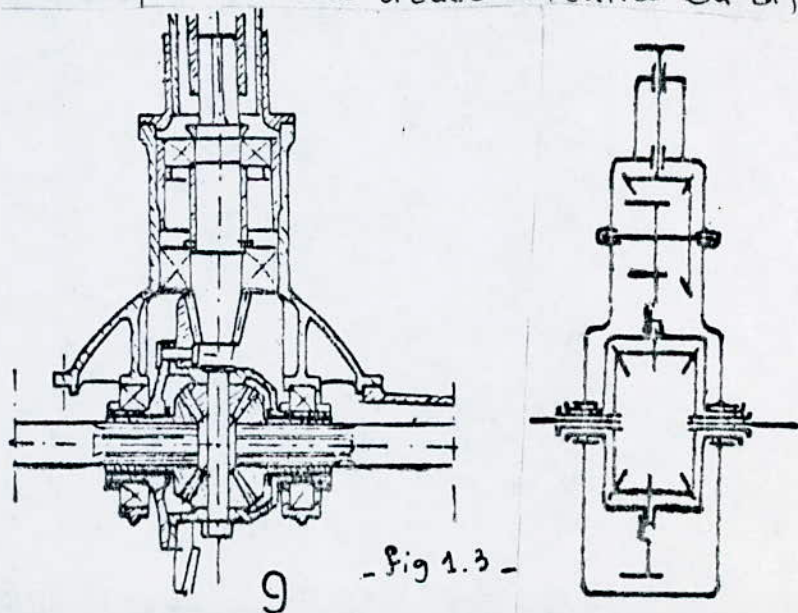


- Lorsque le rapport est distribué sur deux emplacements, le pont est dit à double démultiplication.

Deux solutions constructives peuvent-être envisagées dans ce cas :

a. La seconde démultiplication est située à l'entrée du différentiel (fig 1.3).

$$Q_p = \frac{z_2 \cdot z_4}{z_1 \cdot z_3} \quad (1.3)$$



- Fig 1.3 -

b. La seconde démultiplication est située au niveau des moyeux des roues motrices par un train d'engrenage épicycloïdal, plan simple (fig 1.4).

$$Q_p = \frac{z_c}{z_p} \cdot \frac{z_a + z_b}{z_a} \quad (1.4).$$

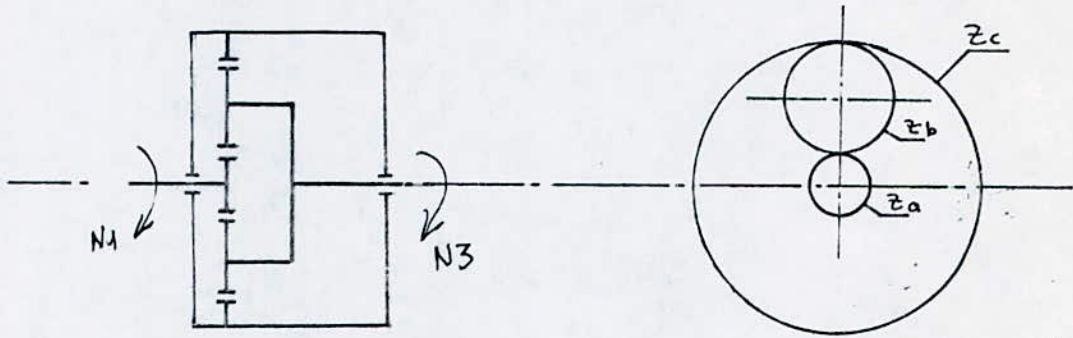


FIG 14

- Lorsque le rapport est distribué sur trois emplacements: (entrée du différentiel, moyeux des roues motrices) le pont est dit à triple démultiplication.

$$Q_p = \frac{z_2 z_4}{z_1 z_3} \cdot \frac{z_a}{z_a + z_b} \quad (1.5). \quad [1]$$

Les ponts à double et triple démultiplication sont utilisés dans les chaînes de transmission des véhicules lourds, qui exigent une grande multiplication du couple moteur, pour pouvoir grimper les côtes en charge.

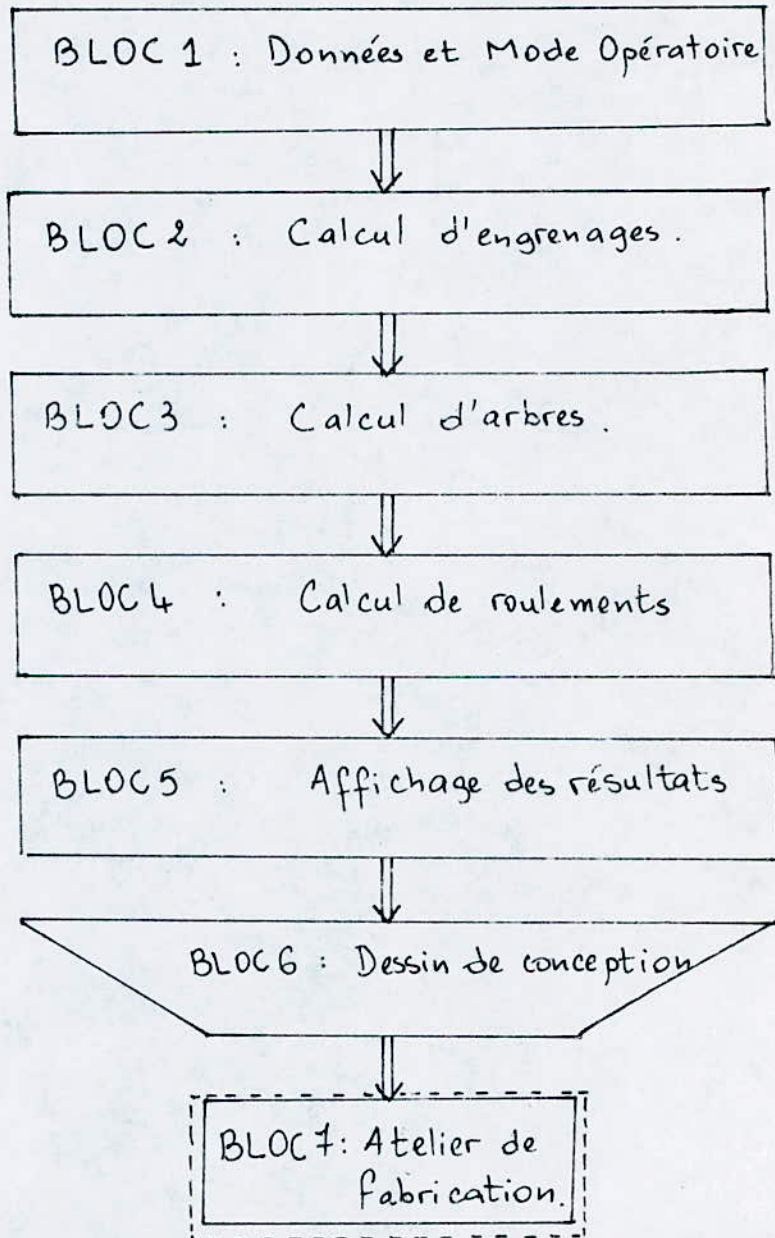
1.4 PLAN DU TRAVAIL

L'étude dimensionnelle d'un système mécanique, consiste à déterminer les formes et dimensions des organes qui le constituent

dans leur ensemble ; ils sont de trois catégories :

- Les engrenages
- Les arbres
- Les roulements.

Pour réaliser l'objectif de cette étude , nous avons opté pour le plan suivant :



Ce plan constitue une présentation condensée des diffé-

-rentes phases du logiciel associé à cette étude .

- Les blocs 1, 2 et 3, 4 résument l'aspect informatique lié aux chapitres 2, 3 et 4 qui, sous les mêmes titres, font l'objet d'une analyse plus détaillée , permettant d'élaborer les algorithmes qui constituent ce logiciel .

- Le bloc 5 est consacré à l'affichage des résultats qui seront présentés et commentés dans le chapitre 5 .

- Le bloc 6 correspond à une étape non informatisée où il s'agira de représenter le système par un certain nombre de planches .

- Le bloc 7 rappelle la phase de fabrication , qui constitue l'aboutissement à toute étude dimensionnelle .

chapitre 2

CALCUL D'ENGRENAGE

2-1 TYPE D'ENGRENAGES

2-1-1 ENGRENAGE PIGNON D'ATTAQUE / COURONNE

On dénombre trois jeux de pignon d'attaque /

Couronne :

- a- Engrenage conique à denture hypoïde utilisé,
 - sur voiture ancienne et camion.
- b- Engrenage conique à denture spirale (ou spiro-conique) utilisé,
 - sur camion seulement.
- c- Engrenage à roue et à vis sans fin utilisé,
 - sur véhicules lourds, spéciaux, employés sur les chantiers de construction et dont le différentiel requiert un grand rapport de démultiplication.

2-1-2 LE BOITIER DU DIFFÉRENTIEL [6]

Il est muni d'un flasque sur lequel est boulonnée la couronne, il entoure les satellites et les planétaires. Il sert à les maintenir constamment engrenés. Le boîtier, la couronne, les satellites et les planétaires tournent toujours comme un seul élément dans les roulements du boîtier.

- Les planétaires

Ce sont de petits engrenages coniques à denture droite, montés à l'intérieur du boîtier du différentiel, cannelés aux extrémités inférieures des deux essieux de roues, ils sont placés l'un en face de l'autre et s'engrenent avec les satellites.

- Les satellites:

Ce sont de petits engrenages coniques à denture droite, qui tournent librement sur un arbre monté à l'intérieur du boîtier du différentiel. Ils sont constamment engrenés avec les planétaires. En tournant avec le boîtier, ainsi que leur arbre, ils entraînent les planétaires et les essieux de roues.

2.1.3 TRAIN D'ENGRENAGE (réduction périphérique, au niveau des moyeux)

C'est un train planétaire épicycloïdal, plan simple constitué de deux planétaires et de plusieurs satellites. Le planétaire menant est à denture droite extérieure, le planétaire mené est à denture droite intérieure.

Les satellites sont à denture droite extérieure.

2.2 CALCUL D'ENGRENAGE (dimensions et résistance)

Dans notre étude nous envisageons un pont à double démultiplication, selon la variante de la figure (2.4).

Donc le rapport de transmission, déterminé par la première phase de simulation, sera partagé entre le couple central pignon/couronne et le couple périphérique, situé au niveau des moyeux des roues. On aura donc

$$Q_p = Q_c \cdot Q_m \quad (2.1) \quad \text{où :}$$

$$(2.2) \quad Q_c = \frac{z_c}{z_p} \quad \text{sera investi pour le dimensionnement des organes constituant la partie centrale.}$$

$$(2.3) \quad Q_m = \frac{z_a + z_b}{z_a} \quad \text{sera investi pour le dimensionnement de la partie périphérique.}$$

2.2.1 PARAMÈTRES DE BASE

Le pont travaille en harmonie avec les autres parties de la chaîne cinématique.

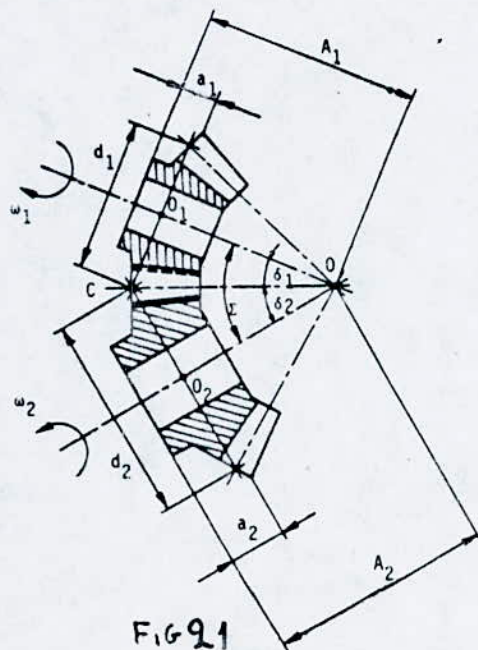
Il transmet aux roues le mouvement qu'il reçoit de la boîte de vitesses (ou de la boîte de transfert); ce mouvement est caractérisé par :

- Une puissance P [W]
- Un couple M [m.N]
- Une vitesse N [tr/min]

Un rapport de transmission Q_p (réduction de vitesse, ou multiplication du couple). Moyennant ce rapport, le pont transforme ces paramètres, dans le sens de les adapter davantage aux conditions d'utilisation du véhicule.

2.2.2 COUPLE PIGNON D'ATTAQUE / COURONNE

2.2.2.1 CALCUL DE DIMENSIONS DE L'ENGRENAGE (fig 2.1).



- Le module moyen :

$$m_m = 10 \sqrt[3]{\frac{11P}{z_1 u_1 K' \sigma_{ap}}} \quad (2.4)$$

avec P : puissance [W].

z_1 : nombre de dents de pignon $8 \leq z_1 \leq 16$ (pour camion)

σ_{ap} : résistance pratique du matériau à utiliser $\left[\frac{N}{mm^2} \right]$
(acier en général)

K' : facteur ou coefficient de largeur de denture.

$K' = 8$ pour denture hélicoïdale (notre cas).

$K' = 10$ pour denture droite.

On prendra le module normalisé le plus proche, par excès.

- Les angles primitifs :

$$\rho_1 = \arctg \frac{1}{Q_c} \quad (2.5)$$

$$\rho_2 = \arctg Q_c \quad (2.6)$$

- Nombre de dents :

$$z_1 : \text{adopté} \quad ; \quad z_2 = Q_c z_1 \quad (2.7)$$

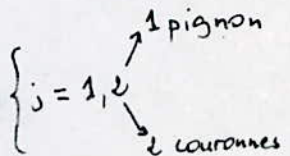
On vérifiera au préalable que z_1 et z_2 sont deux nombres premiers, entre eux, pour la continuité d'engrenement.

- Vitesse de rotation :

$$\omega_1 \text{ donnée} \quad ; \quad \omega_2 = \frac{\omega_1}{Q_c} \left[\frac{rad}{s} \right] \quad (2.8)$$

- Saillie $h_a = m \quad (2.9)$

- Creux $h_f = \left[\left(\frac{1}{6} \bar{a} \frac{1}{3} \right) + 1 \right] m \quad (2.10)$



- Diamètres primitifs :

$$d_j = m z_j .$$

- Diamètres de têtes :

$$d_{aj} = d_j + 2 h_a \cos \delta_j$$

- Diamètres de pieds :

$$d_{fj} = d_j - 2 h_f \cos \delta_j$$

- Diamètres de bases :

$$d_{bj} = d_j \cos \alpha$$

avec α : angle de pression ,
on adopte $\alpha = 20^\circ$.

- Diamètres moyens :

$$d_{mj} = 2 (\overline{OC} - 0,56) \sin \delta_j$$

- Largeur de denture :

$$b = K'm = 8 m .$$

- Longueur de la génératrice :

$$\overline{OC} = \frac{d_j}{2 \sin \delta_j}$$

- Angles de tête

$$\delta_{aj} = \delta_j + \arctg \left(\frac{h_a}{\overline{OC}} \right)$$

- Angles de pieds

$$\delta_{fj} = \delta_j - \arctg \left(\frac{h_f}{\overline{OC}} \right)$$

2-2-2-2 CALCUL D'ENGRENEMENT [1]

Pour étudier la continuité d'engrenement, les interférences et la correction d'engrenage, on utilisera la méthode de Tredgold.

- DESCRIPTION DE LA MÉTHODE DE TREDGOLD

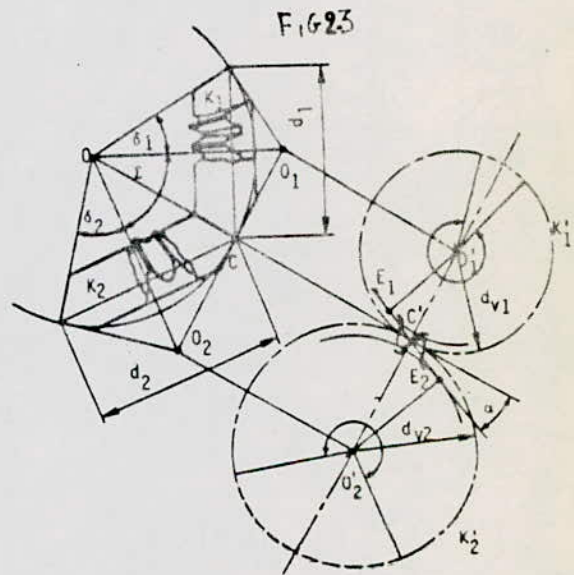
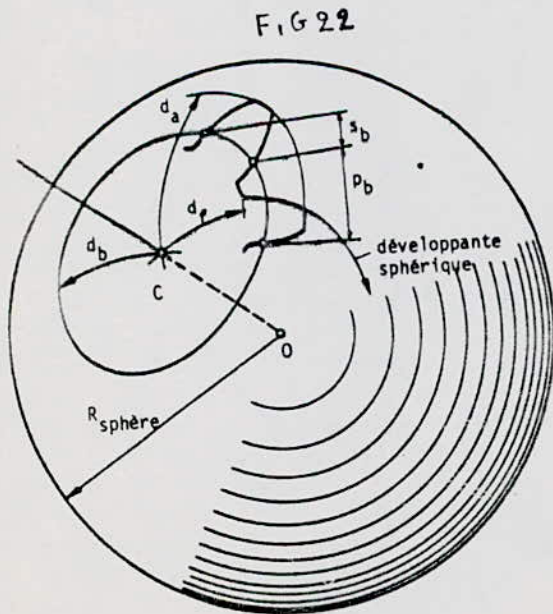
(Fig 2.2) et (Fig 2.3).

Les deux roues coniques conjuguées sont coupées

par une sphère de rayon \overline{OC} , suivant leurs diamètres d_1 et d_2 y compris le point (C) sur leur génératrice commune \overline{OC} .

L'intersection entre la sphère et les axes des deux cônes complémentaires fixe les points O_1 et O_2 , qui sont les sommets de cônes complémentaires ayant pour bases les cercles primitifs de diamètres d_1 et d_2 .

L'engrenement entre le pignon (1) et la roue (2) s'effectue suivant les sections sphériques, dans un espace restreint autour du point (C); au voisinage duquel, les cônes complémentaires s'écartent très peu de la sphère; si l'on y remplace les sections sphériques par des sections coniques.



Les sections coniques sont développables (ce qui n'est pas le cas pour la sphère), ce qui permet d'effectuer leur tracé dans le plan perpendiculaire à la génératrice commune de l'engrenage \overline{OC} et ainsi, on trouve les secteurs circulaires correspondants, limités par les cercles K_1' et K_2' de centres O_1' et O_2' tangent en (C') et tel que leurs largeurs soient identiques à celles respectivement des circonférences K_1 et K_2 .

Les roues imaginaires ainsi obtenues, sont appelées "roues cylindriques équivalentes". Leurs diamètres primitifs sont alors

$$d_{v_j} = \frac{d_j}{\cos \delta_j} \quad (j = 1, 2)$$

Le nombre de dents équivalent :

$$z_{v_j} = \frac{z_j}{\cos \delta_j} \quad (j = 1, 2)$$

Le rapport de transmission équivalent :

$$Q_{L_v} = Q_c$$

Ainsi on utilisera ces valeurs imaginaires (comme s'il s'agissait d'un engrenage parallèle à denture hélicoïdale) pour la correction de dentures.

2-2-2-3 CORRECTION DE DENTURE [1]

- Déport minimal pour éviter un taillage avec interférence de dentures :

$$X_j = \frac{z_{B \min} \cos \delta_j - z_j}{z_{B \min} \cos \delta_j}$$

avec $z_{B \min} \gg \frac{z \cos \beta}{\sin^2 \alpha}$: nombre de dents limite.

Cette correction concerne la roue dentée, isolé, en réalité, il est nécessaire de considérer le travail simultané des deux roues engrenées, car la correction de profil d'une roue rend indispensable la correction de roue conjuguée, ce qui change les conditions de travail (d'engrenement); deux cas de correction peuvent se présenter:

- Correction sans variation d'entraxe:

$$\text{si } z_1 + z_2 \gg 2 z_{\text{blin}}$$

on calcule dans ce cas, le déport x_1 du pignon:

$$x_1 = \frac{z_{\text{blin}} \cos \delta_2 - z_1}{2 z_{\text{blin}} \cos \delta_2}$$

et on prendra $x_2 = -x_1$

$$\text{car } \sum x_j = x_1 + x_2 = 0$$

- Correction avec variation d'entraxe:

- On doit donner alors l'entraxe de fonctionnement (a')

- On tire l'angle de pression de fonctionnement (α')

$$\alpha' = \arccos \left(\frac{a}{a'} \cos \alpha \right)$$

La somme de déport sera alors:

$$x_1 + x_2 = \frac{1}{2 \operatorname{inv} \alpha} (z_1 + z_2) (\operatorname{inv} \alpha' - \operatorname{inv} \alpha)$$

avec $\operatorname{inv}(x) = \operatorname{tg} x - \frac{\pi x}{180}$ (x : angle en degré).

Le déport x_1 est calculé alors par la formule empirique proposée par L'ISO.

$$x_1 = \lambda \frac{z_2 - z_1}{z_2 + z_1} + (x_1 + x_2) \frac{z_1}{z_2 + z_1}$$

avec $0,5 \leq \lambda \leq 0,75$ on prendra $\lambda = 0,75$.

$$\text{et } x_2 = (x_1 + x_2) - x_1.$$

On effectuera alors une diminution pour l'engrenage de fonctionnement.

$$d' = d_j \frac{a'}{a}$$

$$d'_{b_j} = d_{b_j}$$

$$m' = \frac{d'_j}{z_j}$$

$$c'_j = 0,25 m'$$

$$d'_{a_j} = m [z_j + 2(1 + x_j - k)]$$

$$d'_{f_j} = m [z_j - 2(1 + c - x_j)]$$

$$h'_j = 0,5 (d'_{a_j} - d'_{f_j}).$$

$$b' = 8 m'$$

$$\alpha'_{a_j} = \arccos \left(\frac{d'_{b_j}}{d'_{a_j}} \right).$$

Pour le cas de correction avec variation d'entraxe, on vérifiera la condition suivante, qui permet d'éviter l'interférence entre extrémité de dent de la roue et la surface de raccordement (la trochoïde) du pignon,

$$d_{a_2} \leq z_2 m \cos \alpha \sqrt{1 + \left[\frac{z_1}{z_2} (\operatorname{tg} \alpha' - \operatorname{tg} \alpha) + \operatorname{tg} \alpha' + 4 \frac{1 + x_2}{z_2 \sin 2\alpha} \right]^2}$$

et entre l'extrémité d'une dent de pignon et la surface de raccord-

-ement de la roue :

$$d_{a_1} \leq z_1 m \cos \alpha \sqrt{1 + \left[\frac{z_2}{z_1} (\operatorname{tg} \alpha' - \operatorname{tg} \alpha) + \operatorname{tg} \alpha' + 4 \frac{1 + x_2}{z_1 \sin \alpha} \right]^2}$$

Remarque concernant l'entraxe :

- L'entraxe (a) est calculé en éléments virtuels (Tredgold).

$$a = \frac{z_{v_1} + z_{v_2}}{2} m$$

- L'entraxe (a') de fonctionnement est la somme des rayons primitifs réels (sur le dessin de conception) divisé chacun par l'angle primitif lui correspondant (Tredgold).

- Rapport de conduite de l'engrenage ε_f

$$\varepsilon_f = \varepsilon_\alpha + \varepsilon_\beta$$

ε_α : rapport de conduite :

$$\varepsilon_\alpha = \sum_{j=1}^4 \frac{z_j}{2\pi} (\operatorname{tg} \alpha_{a_j} - \operatorname{tg} \alpha') / \cos \beta \quad (\beta = 30^\circ; \text{adopté}).$$

ε_β : rapport de recouvrement :

$$\varepsilon_\beta = \frac{b' \sin \beta}{\pi m'}$$

(pour correction sans variation d'entraxe $\alpha' = \alpha$ et $m' = m$).

- Méthode pratique pour le calcul des déports :

- Cas avec variation d'entraxe.

Soit $B_v = \frac{a'}{a} - 1.$

on tire alors de la figure (2.4) la valeur:

$$B = \lambda \frac{x_1 + x_2}{z_2 + z_1}$$

ce qui donne : $(x_1 + x_2)$

d'où $x_1 = \lambda \frac{z_2 - z_1}{z_2 + z_1} + (x_1 + x_2) \frac{z_2}{z_2 + z_1}$ ($\lambda = 0,75$).

2-2-2-4 CALCUL DE DENTURE (selon HENRIOT) [1]

1- Tenue à la rupture :

a. Effort tangentiel admissible :

$$F_{R \text{ tadm}} = \sqrt{\frac{b \cdot m'}{blim}} \cdot \frac{K_v K_{bL} K_m K_A}{Y_E Y_F Y_B} \left(\frac{\overline{OC} - b}{\overline{OC}} \right)$$

1- K_v : facteur de vitesse :

facteur dynamique qui fait intervenir les surcharges dues à l'effet combiné des erreurs de denture et de la vitesse, compte tenu des inerties de la transmission.

Il ya quatre classes de précisions adoptées :

Classe I : Denture de très grande précision,

$$v \leq 100 \frac{m}{s} \Rightarrow K_v = \frac{30}{30 + \sqrt{v}}$$

Classe II : Denture de précision,

Soit $B_v = \frac{a'}{a} - 1$.

on tire alors de la figure (2.4) la valeur :

$$B = \lambda \frac{x_1 + x_2}{z_2 + z_1}$$

ce qui donne : $(x_1 + x_2)$

d'où $x_1 = \lambda \frac{z_2 - z_1}{z_2 + z_1} + (x_1 + x_2) \frac{z_1}{z_2 + z_1}$ ($\lambda = 0,75$).

2-2-2-4 CALCUL DE DENTURE (selon HENRIOT) [1]

1- Tenue à la rupture :

a. Effort tangentiel admissible :

$$F_{R \text{ adm}} = \sqrt{b \cdot m'} \cdot \frac{K_v K_{BL} K_m K_A}{Y_E Y_F Y_B} \left(\frac{\sigma_c - b}{\sigma_c} \right)$$

1- K_v : facteur de vitesse :

facteur dynamique qui fait intervenir les surcharges dues à l'effet combiné des erreurs de denture et de la vitesse, compte tenu des inerties de la transmission.

Il ya quatre classes de précisions adoptées :

Classe I : Denture de très grande précision,

$$v_t \approx 100 \frac{m}{s} \Rightarrow K_v = \frac{30}{30 + \sqrt{v_t}}$$

Classe II : Denture de précision,

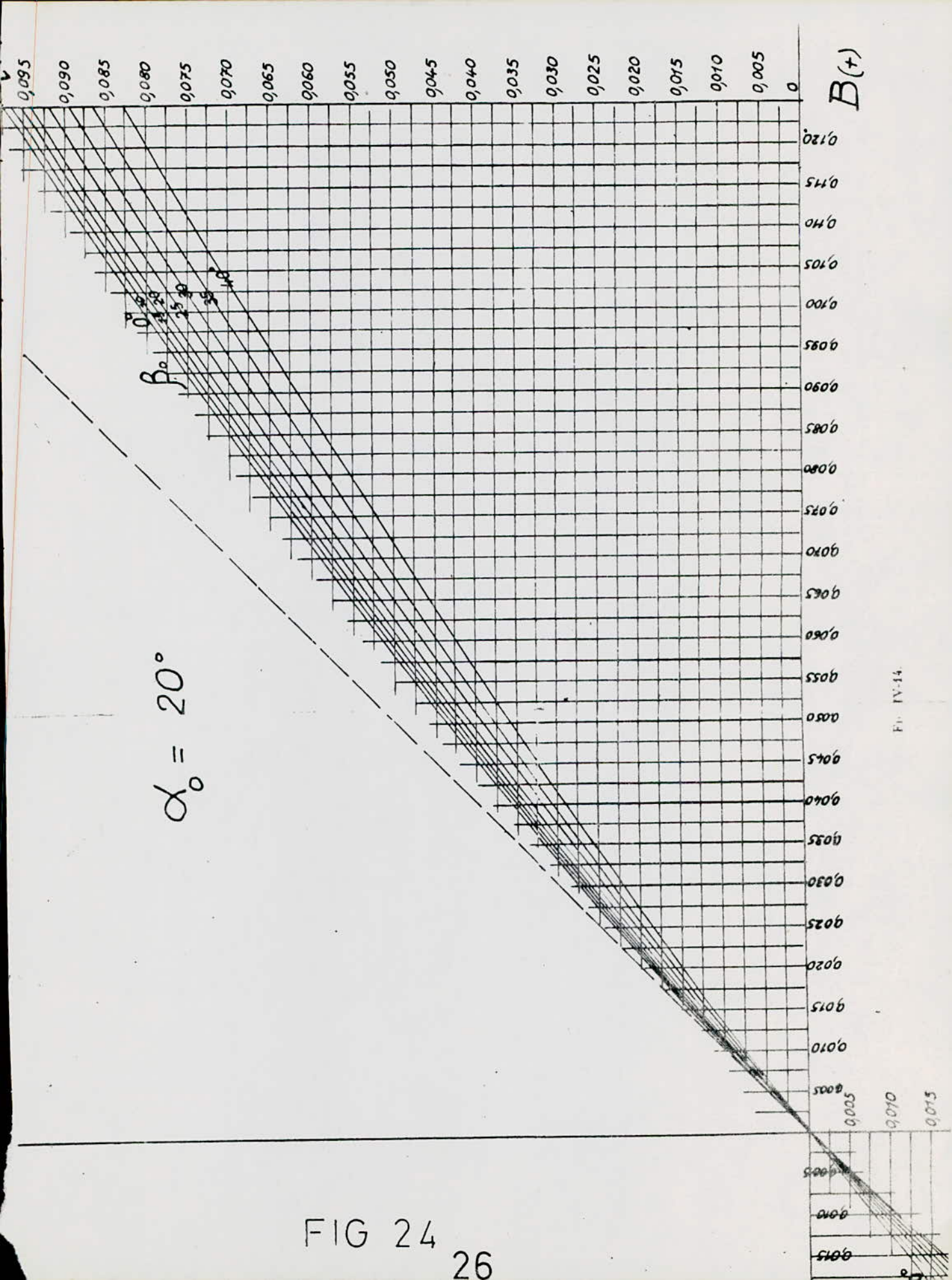


FIG. IV-14.

FIG 24
26

$$v_E \leq 50 \left[\frac{m}{s} \right] \Rightarrow K_v = \frac{12}{12 + \sqrt{v_E}}$$

Classe III: Denture de bonne qualité commerciale,

$$v_E \leq 20 \frac{m}{s} \Rightarrow K_v = \frac{6}{6 + \sqrt{v_E}}$$

Classe IV: Denture de qualité médiocre,

$$v_E \leq 10 \frac{m}{s} \Rightarrow K_v = \frac{3}{3 + \sqrt{v_E}}$$

avec $v_E = \omega_j \frac{d m_j}{z}$
(tangentielle)

Pour le cas du pont on adoptera la classe III, donc :

$$K_v = \frac{6}{6 + \sqrt{v_E}}$$

2- K_A : Facteur de service

Il est introduit pour tenir compte de la nature de l'organe moteur et de l'organe récepteur.

- Pour engrenage spiro-conique, avec fonctionnement pratiquement sans chocs et une durée de fonctionnement jusqu'à douze (12) heures par jour :

$$K_A = 0,67 \text{ (cas des satellites et planétaires du différentiel)}$$

3- K_{bL} : facteur de durée :

Il met en évidence la relation entre la

Contrainte admissible et le nombre de cycle mis en charge (fig.5)

$K_{bL} = 1$ (pour le cas pignon d'attaque / couronne et pour le cas des satellites et planétaires du différentiel)

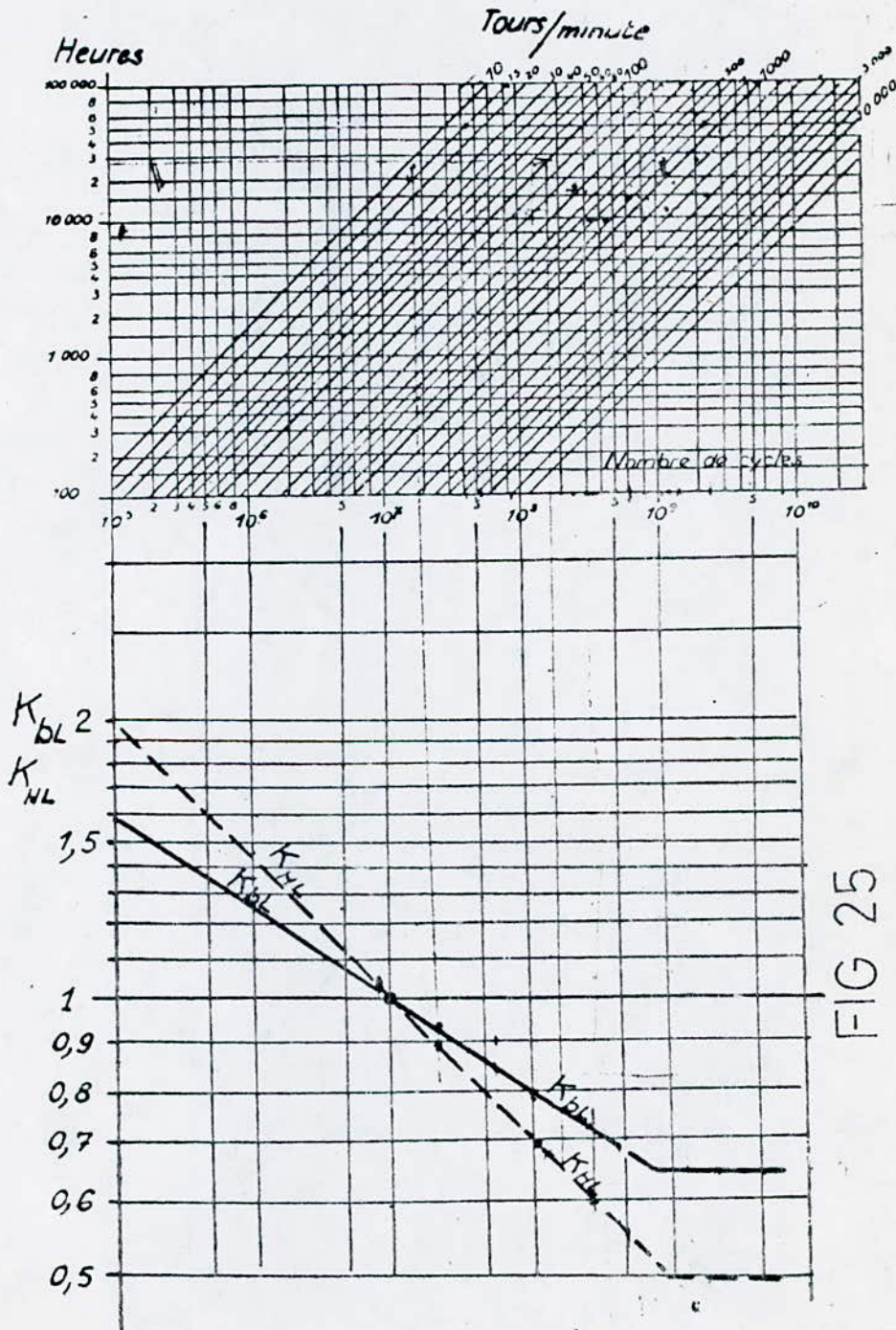


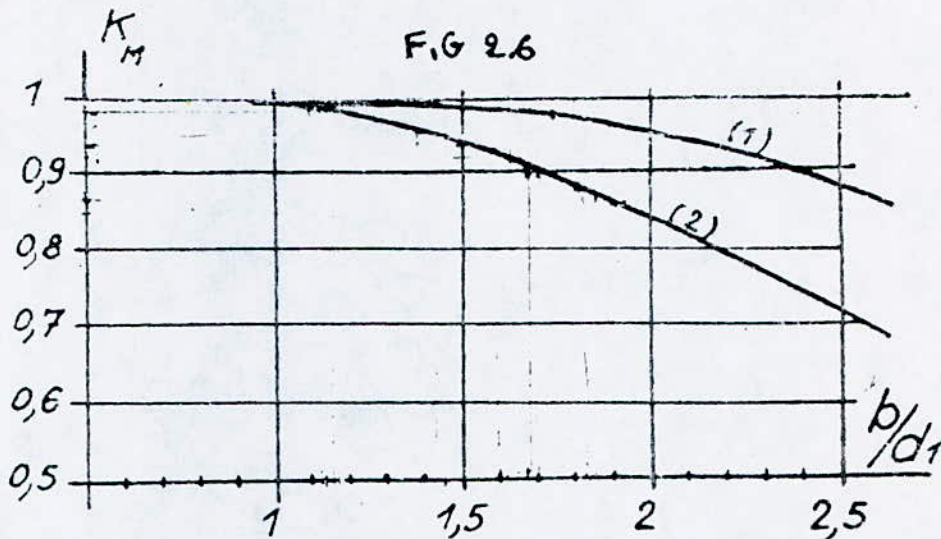
FIG 25

4- K_M : Facteur de portée (fig 2.6)

Selon Gleason,

$$0,8 \leq K_M \leq 0,9$$

on adoptera $K_M = 0,85$.



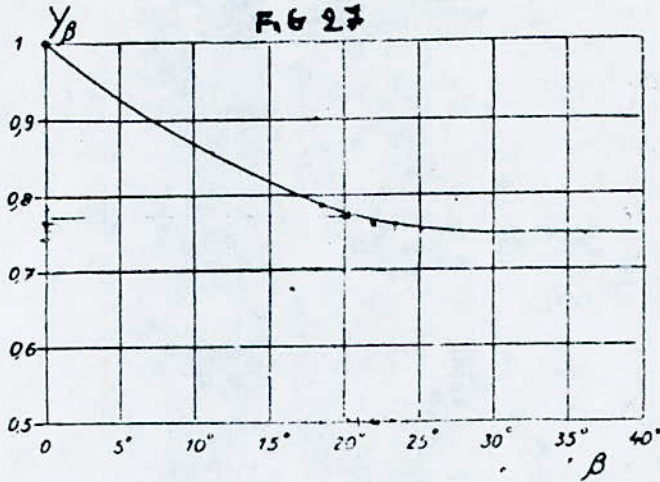
5- Y_ε : facteur de conduite :

$$Y_\varepsilon = \frac{1}{\varepsilon \alpha}$$

6- Y_B : facteur d'inclinaison :

Pour une bonne utilisation de la denture
helicoidale, ε_B doit être supérieur à 1
($\varepsilon_B \gg 1$), c'est une condition nécessaire.

on tire Y_B de la (fig 2.7).



7- Y_f : facteur de forme :

Il tient compte de la forme de la denture .

$$Y_f = 2.1 \quad (\text{adoptée}) .$$

8- $\sqrt{\sigma_{\text{blin}}}$: contrainte de base admissible :

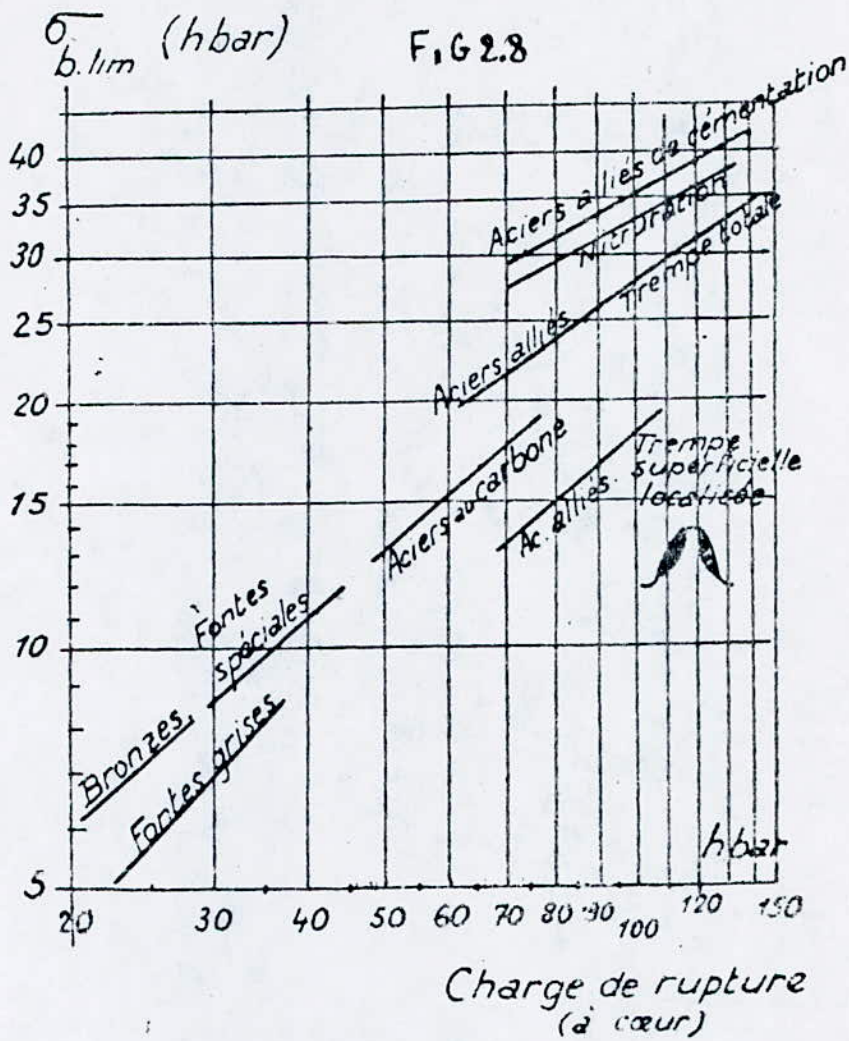
On la tire de la figure (2.8), connaissant

$\sqrt{\sigma_{RP}}$ du matériau .

b- Puissance admissible :

$$P_{\text{admi}} = \frac{10^{-6}}{1,96} \sqrt{\sigma_{\text{blin}}} b \frac{m^2}{\cos \beta} m_1 z \frac{K_v K_{H\beta} K_M K_A}{Y_E Y_f Y_\beta} \left(\frac{\overline{OC} - b}{OC} \right)$$

avec m_1 : nombre de t_n / min du pignon .



2 - Tenue à la pression superficielle :

a - Effort tangentiel admissible :

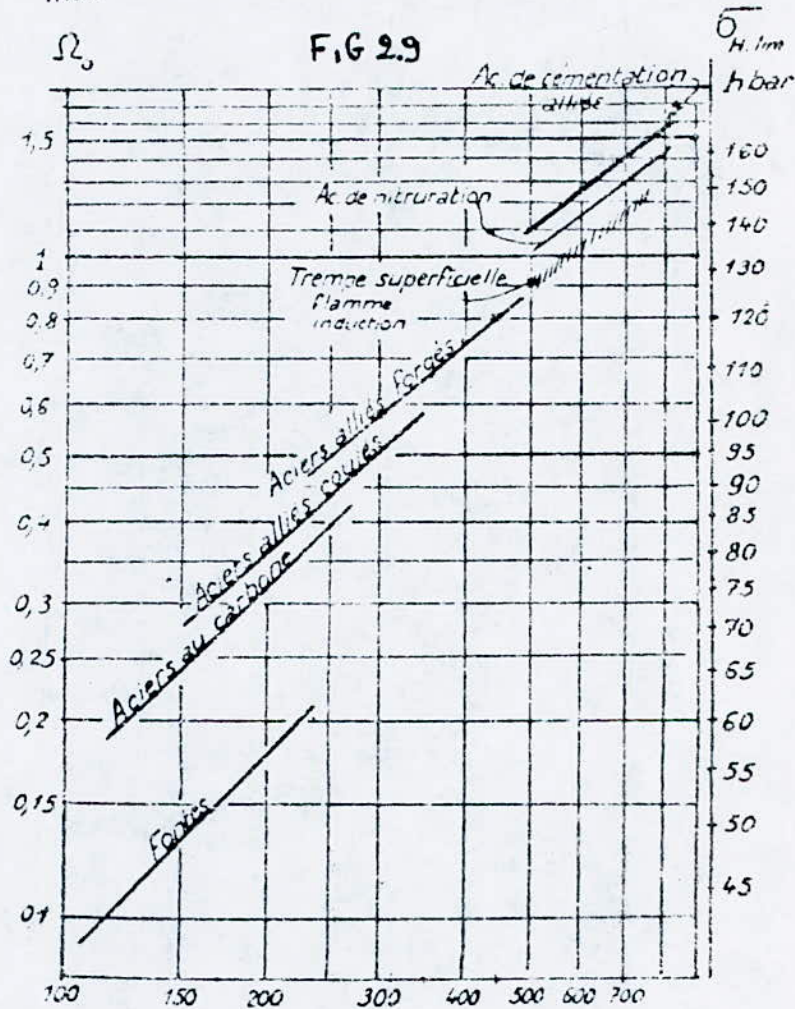
$$F_{Htadm} = \sqrt{\frac{b - d_1}{H_{lim}}}^2 C_r \frac{K_v K_{H\beta} K_m K_A}{z_c^2 z_p^2 z_c^2} \left(\frac{\bar{\sigma}_c - b}{\bar{\sigma}_c} \right)$$

1. C_r : facteur de rapport :

$$C_r = \frac{Q}{Q+1} \quad (\text{pour engrenage ext\u00e9rieur})$$

$$C_r = \frac{1}{Q-1} \quad (\text{pour engrenage int\u00e9rieur})$$

2. σ_{Hlim} : Pression superficielle limite de base (fig. 9).



3. Z_E : facteur mat\u00e9riel :

$$Z_E = \sqrt{0,35 E} \quad : \quad E \rightarrow \text{Module d'\u00e9lasticit\u00e9 longitudinal pour aciers}$$

$$E = 2200 \frac{\text{daN}}{\text{mm}^2}$$

4. Z_β : facteur de longueur de contact :

$$Z_{\beta} = \sqrt{\frac{1}{\epsilon_{\alpha}}}$$

5- Z_c : facteur géométrique :

$$Z_c = \sqrt{\frac{\cos \beta_b}{\sin \alpha \cos \alpha}}$$

avec $\beta_b = \arctg \frac{\sin \beta}{\sqrt{\cos^2 \beta + \tan^2 \alpha}}$: angle d'hélice de base.

6- K_{HL} : facteur de durée :

On adoptera $K_{HL} = 1$.

b- Puissance admissible :

$$P_{Hadm} = F_{Hadm} d_1 m_1 \frac{10^{-6}}{1,96}$$

avec $m_1 : \frac{tn}{\text{min}}$ nombre de tour / minute du pignon.

La puissance admissible, qu'on considèrera, est celle à la pression superficielle, si celle-ci est inférieure à la puissance de transmission, on changera de matériau (on prendra un matériau plus résistant).

Si c'est celle à la rupture, qui est inférieure, on diminuera le module. Si c'est les deux, on jouera sur les deux paramètres ensemble.

2.3 CALCUL D'ENGRENAGE DU DIFFÉRENTIEL [1]

Le différentiel n'intervient pas dans la réduction du

moment, son rôle, comme on le sait, (cf: 1.e) est de permettre aux deux roues de tourner à des vitesses différentes, lors des virages. C'est un train épicycloïdal sphérique simple, on l'assimèlera à un train planétaire plan (fig 2.10) et (fig 2.10 bis).

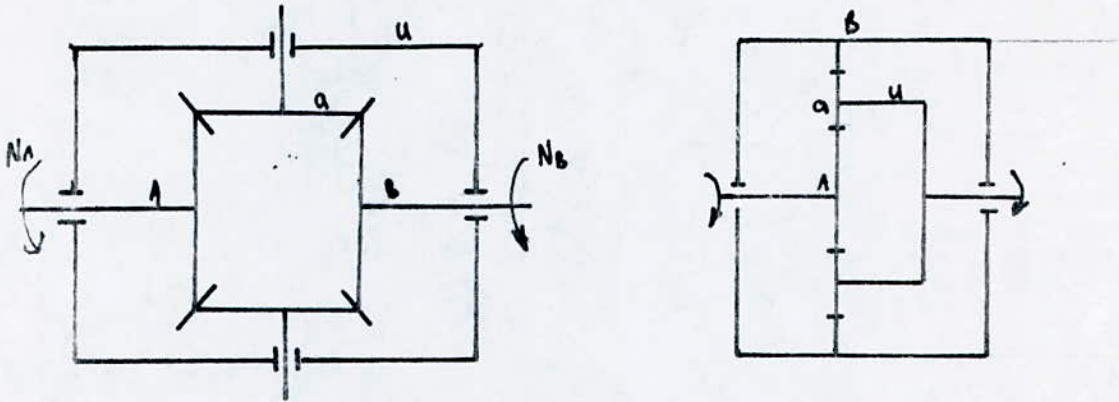
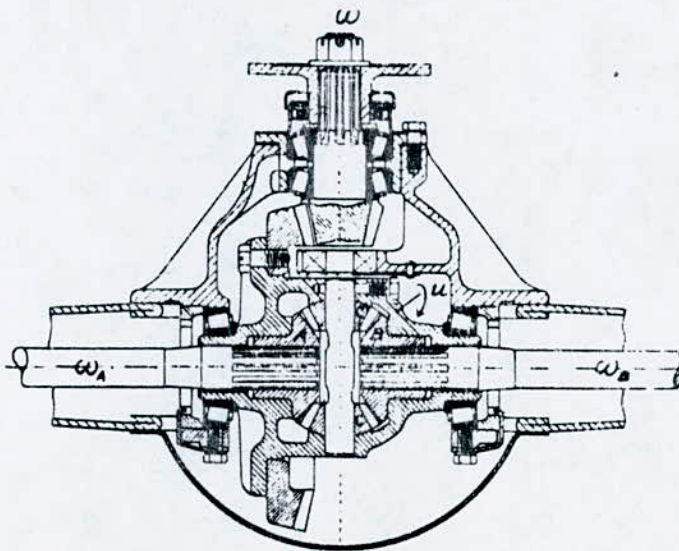


FIG 2-10

FIG 210 bis



Soit a : satellite .

A : planétaire menant .

B : planétaire mené .

U : chassis (boîtier du différentiel) .

- Vitesse angulaire du planétaire menant :

$$\omega_A = \frac{\omega_c}{Q_c} \left[\frac{rd}{s} \right]$$

- Vitesse angulaire du chassis :

$$U = \omega_A .$$

a - Raison du train :

(On imaginera le chassis fixe en communiquant à l'ensemble une rotation $-U$) .

La formule de Willis donne :

$$r = \frac{\omega_A - U}{\omega_B - U} = (-1)^m \frac{z_B \cdot z_a}{z_A \cdot z_a}$$

m : nombre de contacts intérieurs .

z_B : nombre de dents du planétaire B .

z_A : nombre de dents du planétaire A .

z_a : nombre de dents du satellite .

donc

$$r = - \frac{z_B}{z_A} = -1 \quad \text{car les planétaires A et B sont identiques .}$$

et $z_A = z_B$.

b - Nombre de dent :

Pour le choix du nombre de dents z_A et z_B se fait selon

la relation ;

$$z_A + z_B = \text{multiple de } q \text{ (} q: \text{ nombre de satellites) .}$$

qui exprime la condition nécessaire et suffisante pour réaliser un engrenement correct .

C- Pour calculer les dimensions de l'engrenage , constitué par les satellites et planétaires .

On doit déterminer préalablement les vitesses des différents éléments , ainsi que les réactions sur les dentures , pour l'estimation du module d'engrenage .

1- Les réactions sur les dentures :

Le train est en équilibre si :

$$M_A + M_B + M_u = 0 .$$

avec M_A : couple appliqué sur le planétaire A
 M_B : couple appliqué sur le planétaire B
 M_u : couple appliqué sur le châssis u } (Fig. 11)

ou bien avec la somme des puissances :

$$M_A \omega_A + M_B \omega_B + M_u \omega_u = 0$$

tout en sachant que ,

$$\omega_A + \omega_B = 2\omega \text{ (et ce en ligne droite ou en courbe-virage)}$$

avec $\omega_A = \omega$ (en ligne droite) .

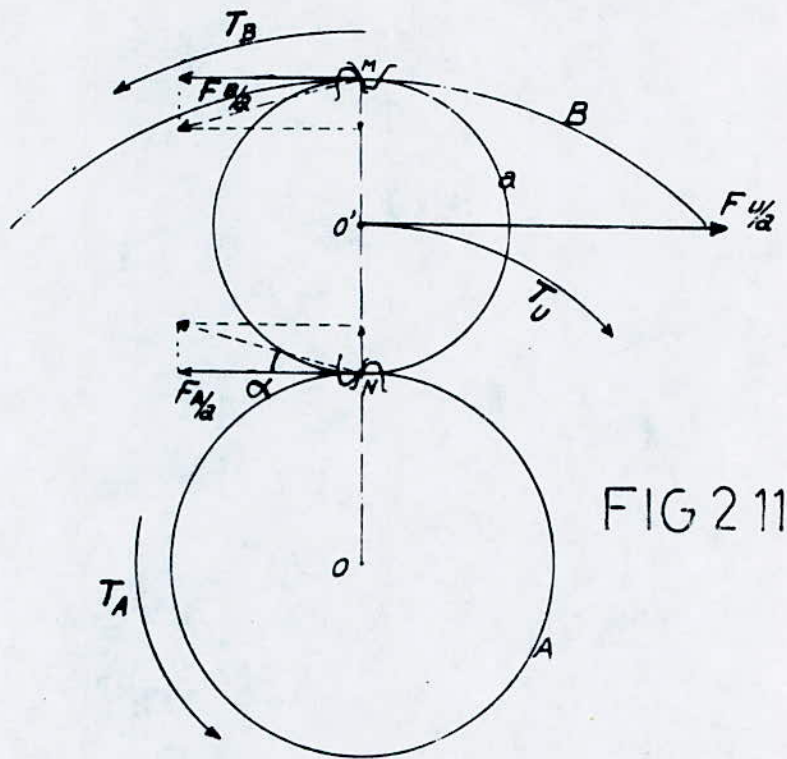


FIG 211

donc $\omega_A = \omega_B = \omega$.

- Pour la détermination de la vitesse ω_a du satellite, on déduit avant le nombre de dents de ce dernier de la formule du module du planétaire, qui est le même que celui du satellite.

- Communiquons à l'ensemble (train) une rotation $(-\omega)$; façon de dire que le châssis est fixe (fictivement).

$$M_A \omega_A + M_B \omega_B = 0$$

Donc $M_A = - \frac{\omega_B}{\omega_A} M_B = - (-1) M_B = M_B$

et

$$M_u = -M_A \left(1 - \frac{z_B}{z_A} \right) = -2M_A = -2M_B.$$

- M_B et M_A sont toujours de même sens.

- M_u est aussi de même sens que M_A et M_B ; Ceci dans le cas où le véhicule roule en ligne droite (car les satellites dans ce cas sont fixes);

- Dans le cas où le véhicule entame une courbe (virage)

$\omega_A = \omega \neq \omega$ (ω_A est égal ou différent à ω), la vitesse du planétaire menant ω_A peut-être égale ou différente à la vitesse du châssis ω , qui lui est solidaire avec la couronne.

Le couple M_u se trouve alors de sens contraire à M_A et M_B ; dans le calcul qui suivra, on considèrera cette dernière éventualité, appliquée au train équivalent (fig 2.11).

Calculons la force tangentielle $F_{B/a}$ ou $F_{A/a}$ exercée par (B) ou (A) sur l'un des deux satellites (a), ainsi que $F_{u/a}$ exercée par le châssis (u) sur (a).

Soit alors le rayon (r) primitif du satellite :

- en équilibre :

$$1 - F_{u/a} = F_{B/a} + F_{A/a}$$

2 - Par rapport au point M

$$F_{u/a} \cdot r - F_{A/a} \cdot 2r = 0 \Rightarrow F_{u/a} = 2 F_{A/a}$$

3 - Par rapport au point N

$$F_{u/a} \cdot r - F_{B/a} \cdot 2r = 0 \Rightarrow F_{u/a} = 2 F_{B/a}$$

$$\textcircled{2} + \textcircled{3} \Rightarrow F_{A/a} = F_{B/a} = \frac{1}{2} F_{u/a}$$

On détermine alors, l'une des forces en connaissant le couple moteur. Dans notre cas c'est le couple exercé sur le planétaire menant (A) et qui est égal au couple exercé par la couronne qui elle même est solidaire du châssis (U) donc :

$$M_u = M_p Q_c = M_c$$

M_p : couple appliqué à l'entrée du pignon d'attaque

$$M_p = \frac{P}{\omega_1} \quad [\text{N.m}]$$

Q_c : rapport de transmission central (cf : 2.2).

M_c : moment ou couple appliqué par la couronne.

Donc le couple appliqué par le planétaire menant (A) sur le satellite (a) est par déduction de $\textcircled{2}$ ou $\textcircled{3}$

$$M_A = \frac{1}{2} M_u$$

- Le couple nous permet alors d'estimer le module de l'engrenage planétaire - satellite ,

$$m = 10^3 \sqrt[3]{\frac{11 M_A}{K z_A v_{Ap}}}$$

$K = 10$ (coefficient de largeur de denture).

σ_{kp} = contrainte de rupture pratique du matériau.

- Le couple appliqué sur la denture du satellite est :

$$M_a = \frac{1}{2} M_u$$

pour le même module, on en déduira le nombre de dent du satellite.

$$z_a = \frac{11000 M_a}{K \sigma_{kp} m^3}$$

connaissant alors :

m : le module (du satellite et du planétaire).

z_A, z_b, z_a : les nombres de dent.

On peut alors entamer le calcul des dimensions des satellites et planétaires ; ce calcul est le même que celui déjà fait pour le pignon d'attaque et la couronne ; seulement dans ce cas $\beta = 0$ et la correction de denture se fait sans variation d'entraxe.

d_ Calcul de denture :

Le calcul de denture se fait à la rupture et à la pression superficielle, comme pour le cas du pignon d'attaque et de la couronne ; d'ailleurs on utilisera les mêmes formules en considérant un angle $\beta = 0^\circ$.

- Les valeurs qu'on adoptera pour les différents facteurs

sont les suivants :

1- facteur de vitesse :

$$K_v = \frac{6}{6 + \sqrt{v_E}}$$

v_E : vitesse tangentielle du planétaire A.

$$v_E = \omega_A r_{ma}$$

2- facteur de service :

$$K_A = 0,67.$$

(fonctionnement avec chocs modérés pour une durée moyenne de 12 heures / jour.)

3- facteur de durée :

$$K_{bL} = 1 \quad (\text{fig 2.5}).$$

4- facteur de portée : (fig 2.6) $0,8 \leq K_M \leq 0,9$.

5- facteur de conduite :

$$Y_e = \frac{1}{\sum v}$$

6- facteur d'inclinaison :

$$Y_\beta \quad (\text{fig 2.7}).$$

7- Facteur de forme :

$$Y_F = 2,1 \quad (\text{adopté}).$$

Les autres facteurs sont inchangés.

2-4 CALCUL D'ENGRENAGE DU TRAIN PLANÉTAIRE PLAN AU NIVEAU DU MOYEU DES ROUES MOTRICES (fig 2.12) et (fig 2.12 bis). [1].

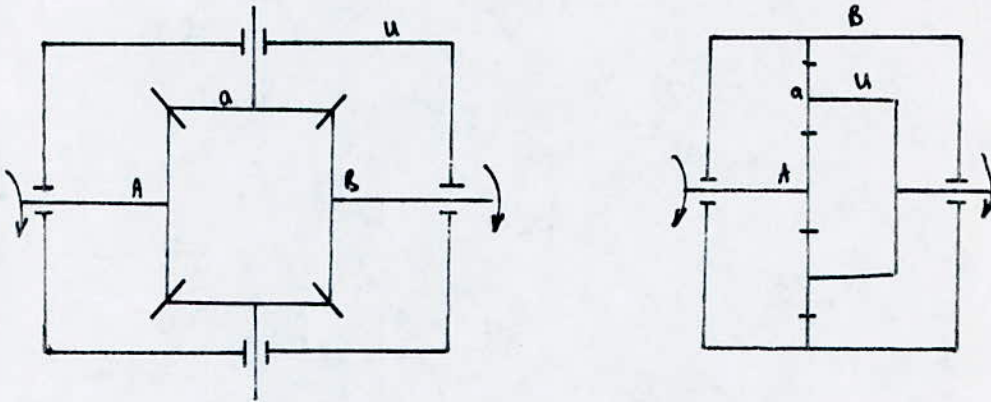
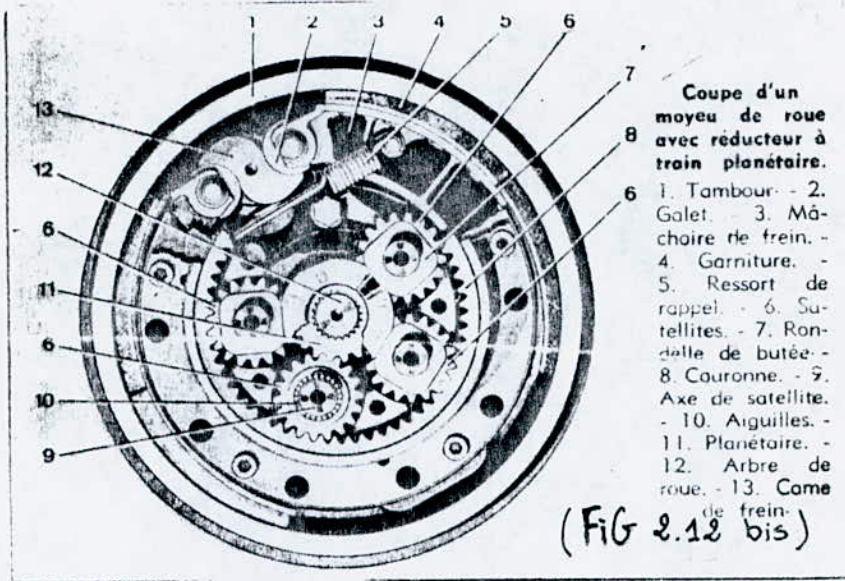


FIG 2 12

Comme on peut le remarquer, ce train planétaire est identique au train planétaire équivalent du différentiel étudié en (2-3).

- Ce train est utilisé dans les ponts à double démultiplication, c'est un train épicycloïdal plan simple.
- Le planétaire A est menant ; la couronne B est fixe, le châssis U est l'organe mené (sortie)
- La couronne B est à denture intérieure droite.
- Le planétaire (A) et les satellites (a) sont à denture extérieure droite.



2.4.1 CALCUL DE DIMENSIONS

a- Les paramètres de base sont :

- Le rapport ou raison du train

$$Q_m = \frac{z_A + z_a}{z_A}$$

- Le couple appliqué sur le planétaire A :

$$M_A = M_p Q_c$$

(M_p : couple sur le pignon d'attaque).

- La vitesse angulaire du planétaire A :

$$\omega_A = \omega_L.$$

b- Le choix du nombre de dents :

1- Planétaires :

$$z_A + z_B = \text{multiple de } q,$$

q : nombre de satellites, on peut prendre $q=3$

z - Satellite :

$$z_a = z_A \quad (Qm - 1)$$

C - Les vitesses : (Fig 1.4)

- vitesse du planétaire A :

$$\omega_A = \omega_2$$

- vitesse du châssis U :

selon Willis

$$\frac{\omega_B - U}{\omega_A - U} = - \frac{z_A}{z_B}$$

donc : la vitesse est :

$$U = \frac{\frac{z_A}{z_B} \omega_A}{1 + \frac{z_A}{z_B}} = \frac{\omega_A}{1 + \frac{z_B}{z_A}}$$

dans notre cas $\frac{z_B}{z_A} = 1 \Rightarrow U = \frac{\omega_A}{1}$

d - Les réactions :

La même étude que pour le différentiel

- le module :

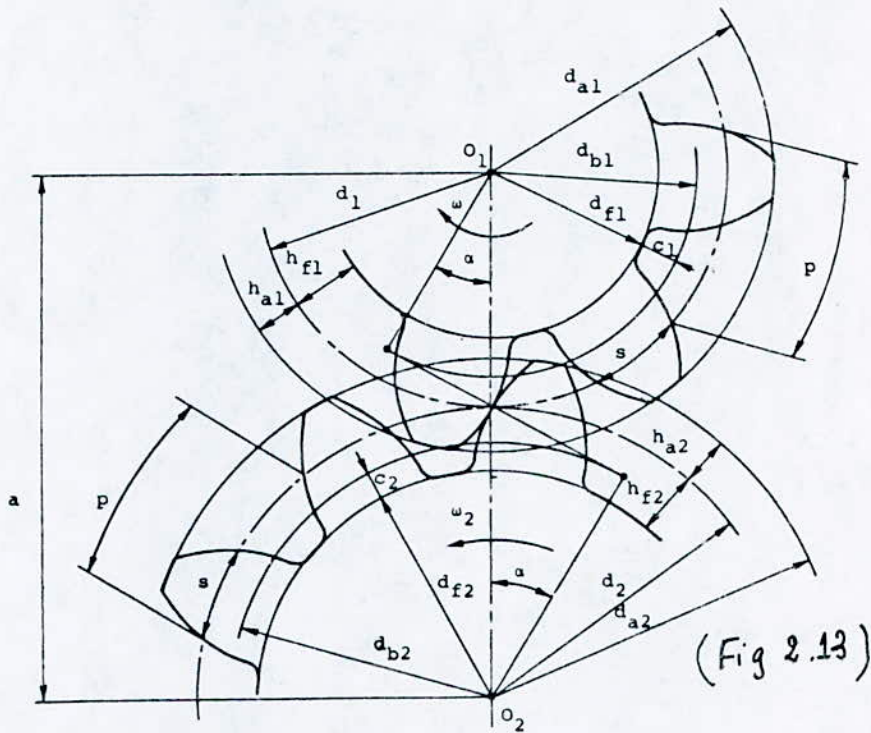
$$m = 10 \sqrt[3]{\frac{11 M_A}{K z_A \sqrt{R_p}}}$$

- z_A et z_B : sont connus.

- z_a : déduit.

On peut alors commencer le calcul de dimension du planétaire A et des satellites.

- Les grandeurs géométriques: (fig 2.13).



- module m
- nombre de dents z_j ($j = 1 \rightarrow$ Planétaire A
 $2 \rightarrow$ satellite a)
- pas primitif $P = \pi m$.
- angle de pression $\alpha = 20^\circ$.
- pas de base $P_b = P \cos \alpha$.
- diamètre primitif $d_j = z_j m$.
- diamètre de base $d_{bj} = d_j \cos \alpha$.
- diamètre de tête $d_{aj} = (z_j + 2) m$.
- diamètre de pieds $d_{fj} = (z_j - 2,5) m$.
- hauteur de dent $h_j = 2,25 m$.
- Epaisseur auviligne de la dent sur le cercle primitif
 $S = 0,5 \pi m$.

- Saillie $h_{aj} = m$
- Creux $h_{fj} = 1,25m$
- vide à fond de dent $C_j = 0,25m$
- largeur de denture $b = 10m$
- entraxe $a = \frac{z_1 + z_2}{2} m$
- angle au sommet de la dent

$$\alpha_{aj} = \arccos \left(\frac{d_{bj}}{d_{aj}} \right)$$
- longueur d'approche

$$g_2 = \frac{d_{b2}}{2} (tg \alpha_{a_2} - tg \alpha)$$
- longueur de retraite

$$g_1 = \frac{d_{b1}}{2} (tg \alpha_{a_1} - tg \alpha)$$
- longueur de conduite

$$g = g_1 + g_2$$
- Rapport de conduite

$$\epsilon = \frac{g}{P_b} = \frac{g_1 + g_2}{\pi m \cos \alpha}$$

2.4.2 CORRECTION DE DENTURE :

- Nombre de dents, limite :

$$z_{lim} \geq \frac{z}{\sin^2 \alpha}$$

- Déport :
$$X_1 = \frac{z_{lim} - z_1}{z_{lim}} = -X_2$$

(car on fera une correction sans variation d'entraxe).

- La nouvelle saillie :

$$h_{aj} = m (1 + x_j)$$

- Le nouveau creux :

$$h_{fj} = m (1,25 - x_j)$$

- La nouvelle épaisseur de dent sur le cercle primitif

$$S_j = m \left(\frac{\pi}{2} + 2 x_j \operatorname{tg} \alpha \right).$$

2-4-3 CALCUL DE DIMENSION DE L'ENGRENAGE INTÉRIEUR [3]

Couronne B (Fig 2.14).

- m : connus

- z_B : connus.

a. Les grandeurs géométriques :

Les mêmes que pour denture extérieure
sauf :

$$d_{a_2} = (z_2 - 2) m$$

(l'indice 2 correspond à la couronne "B")

(l'indice 1 correspond au satellite "a")

$$d_{f_2} = (z_2 + 2,5) m$$

$$a = \frac{z_2 - z_1}{2} m$$

$$\varepsilon = \frac{z_1}{2\pi} \left(\operatorname{tg} \alpha_{a_1} - \operatorname{tg} \alpha \right) + \frac{z_2}{2\pi} \left(\operatorname{tg} \alpha - \operatorname{tg} \alpha_{a_2} \right)$$

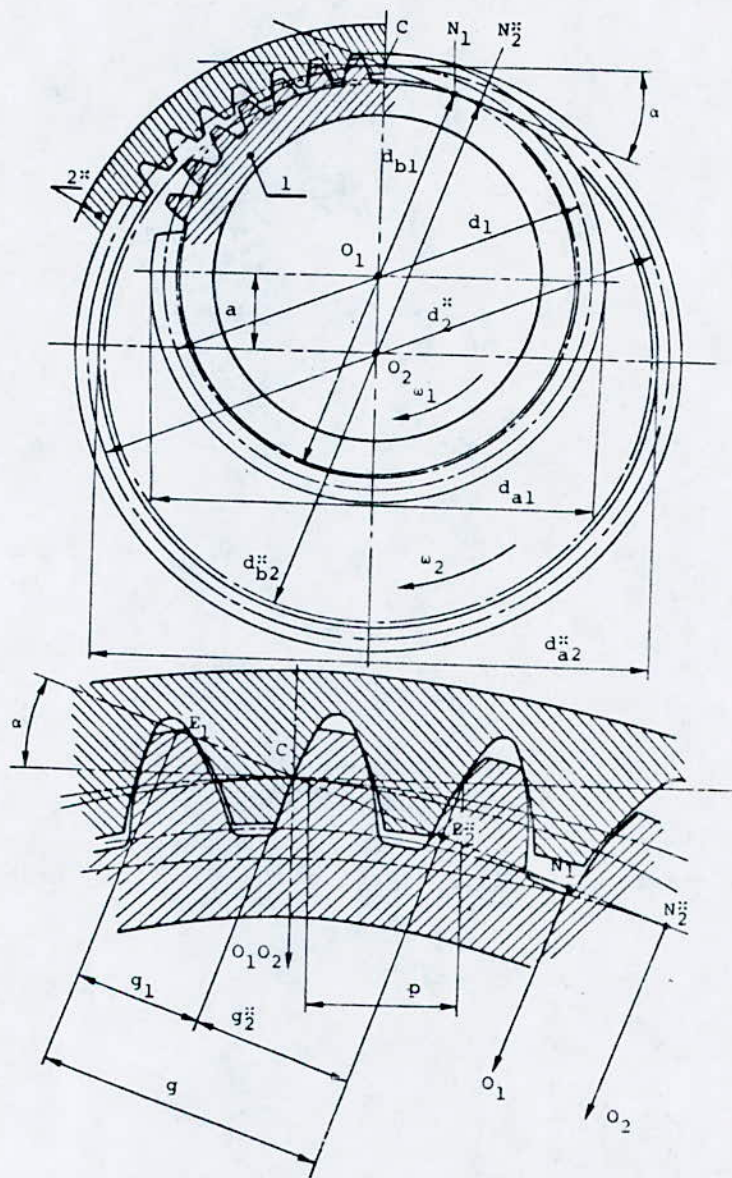


FIG 214

b. La correction de denture :

$x_1 = x_2$ or x_1 : départ du satellite, a déjà été calculé,
donc

x_2 : départ de la couronne est connu

après correction les grandeurs qui changent sont :

$$h_{a_2} = m (1 + X_2)$$

$$h_{f_2} = m (1,25 - X_2) .$$

$$S_2 = m \left(\frac{\pi}{2} - 2 X_2 \operatorname{tg} \alpha \right) .$$

2-4-4 CALCUL DE DENTURE

On utilisera les mêmes formules que pour le cas du différentiel, en considérant $\beta = 0^\circ$.

Les nouvelles valeurs des facteurs dynamique et de vitesse sont:

$$1. K_v = \frac{6}{6 + \sqrt{v_E}} \quad \text{avec } v_E = \omega_A r_1$$

$$2. K_A = 0,67 \times \frac{2}{3} \quad (\text{Henriot}) .$$

$$3. K_{bL} = 1 .$$

$$4. K_M: \quad 0,8 \leq K_M \leq 0,9$$

$$5. Y_E = \frac{1}{E \alpha}$$

$$6. Y_B: \quad (\text{Fig 2.7})$$

$$7. Y_F = 2,1 \quad \text{adopté}$$

$$8. \sigma_{blim}: \quad (\text{Fig 2.8})$$

$$9. C_r = \frac{1}{Q_m - 1} \quad (\text{engrenage intérieur}) ;$$

$$c_p = \frac{Q_m}{Q_{m+1}} \quad (\text{engrenage extérieur})$$

$$10 - \sqrt{\frac{1}{H_{lim}}} : \quad (\text{Fig 2.9})$$

$$11 - z_E = \sqrt{0,35E}$$

$$12 - z_B = \sqrt{\frac{1}{E\alpha}}$$

$$13 - z_C = \sqrt{\frac{1}{\mu \alpha \cos \alpha}}$$

$$14 - K_{HL} = 1 \quad (\text{adopté}).$$

Le calcul se fait comme dans les cas précédents à la rupture et à la pression superficielle.

25 CALCUL D'ENGRENAGE DU TRAIN PLANÉTAIRE SPHÉRIQUE AU NIVEAU DU MOYEU DE ROUE MOTRICE [1]

- Le train planétaire sphérique est un deuxième type de réducteur qu'on utilise pour la réduction périphérique au niveau des moyeux des roues motrices.

- C'est ce type de train qui est le plus utilisé sur les véhicules poids lourds, d'ailleurs notre calcul considèrera ce type (planétaire sphérique) et non le premier (planétaire plan).

2.5.1 CALCUL DE DIMENSION

On fera remarquer que ce planétaire est identique au différentiel et que le calcul de ses dimensions est le même, ainsi que la correction et le calcul de denture.

a. Les paramètres de base :

- Le rapport (ou raison) du train

$$Q_m = \frac{z_1 + z_a}{z_A}$$

- z_A : nombre de dents du planétaire A menant.

- z_a : nombre de dents du satellite.

- Le nombre de satellites $q = 2$.

- Le couple appliqué sur le planétaire A :

$$M_A = M_p Q_c$$

- La vitesse angulaire du planétaire A :

$$\omega_A = \omega_2$$

b. Choix du nombre de dent :

- Les planétaires :

$$z_A + z_B = \text{multiple de } q$$

- Les satellites :

$$z_q = z_A (Q_m - 1)$$

c - Les vitesses :

- Planétaire A :

$$\omega_A = \omega_2$$

- Planétaire B :

$$\text{fixe} \Rightarrow \omega_B = 0.$$

- Le châssis :

$$\frac{\omega_B - \omega}{\omega_A - \omega} = -\frac{z_A}{z_B} = -1 \quad (\text{formule de Willis}).$$

d - Les réactions :

Même étude que pour le différentiel.

2.6 LUBRIFICATION [1]

- La lubrification est assurée (pour les engrenages et les roulements) en remplissant le carter du différentiel et une partie du carter du pont d'un lubrifiant pour engrenage.

- La vérification et le remplissage du lubrifiant sont assurés grâce à un orifice pratiqué dans le carter du différentiel.

- Un évent permet à la pression d'air, produite par la chaleur générée pendant le fonctionnement, de s'échapper, pour qu'elle ne force pas le lubrifiant à s'échapper par les bagues de retenue d'huile placées dans le boîtier du différentiel, autour de l'arbre du pignon d'attaque et dans le carter du pont autour des essieux du pont.

chapitre 3

CALCUL D'ARBRE

Les arbres dont le dimensionnement fait partie de ce projet sont :

- L'arbre du pignon d'attaque.
- Les deux demi-arbres moteurs.

Pour pouvoir aborder ce dimensionnement, on est astreint à effectuer une étude dynamique du système, qui nous permettra de connaître les efforts agissants sur ces arbres, ainsi que leurs types (tangential, radial, axial); cette étude nous permettra aussi de connaître les efforts agissants sur les paliers du système, ce qui nous servira de base pour le calcul et le choix des roulements, qui sera abordé dans le chapitre suivant.

3-1 EFFORTS SUR LE PIGNON ET L'AROUÉ [1] (fig 3.1) et (fig 3.1 bis).

- Effort tangential

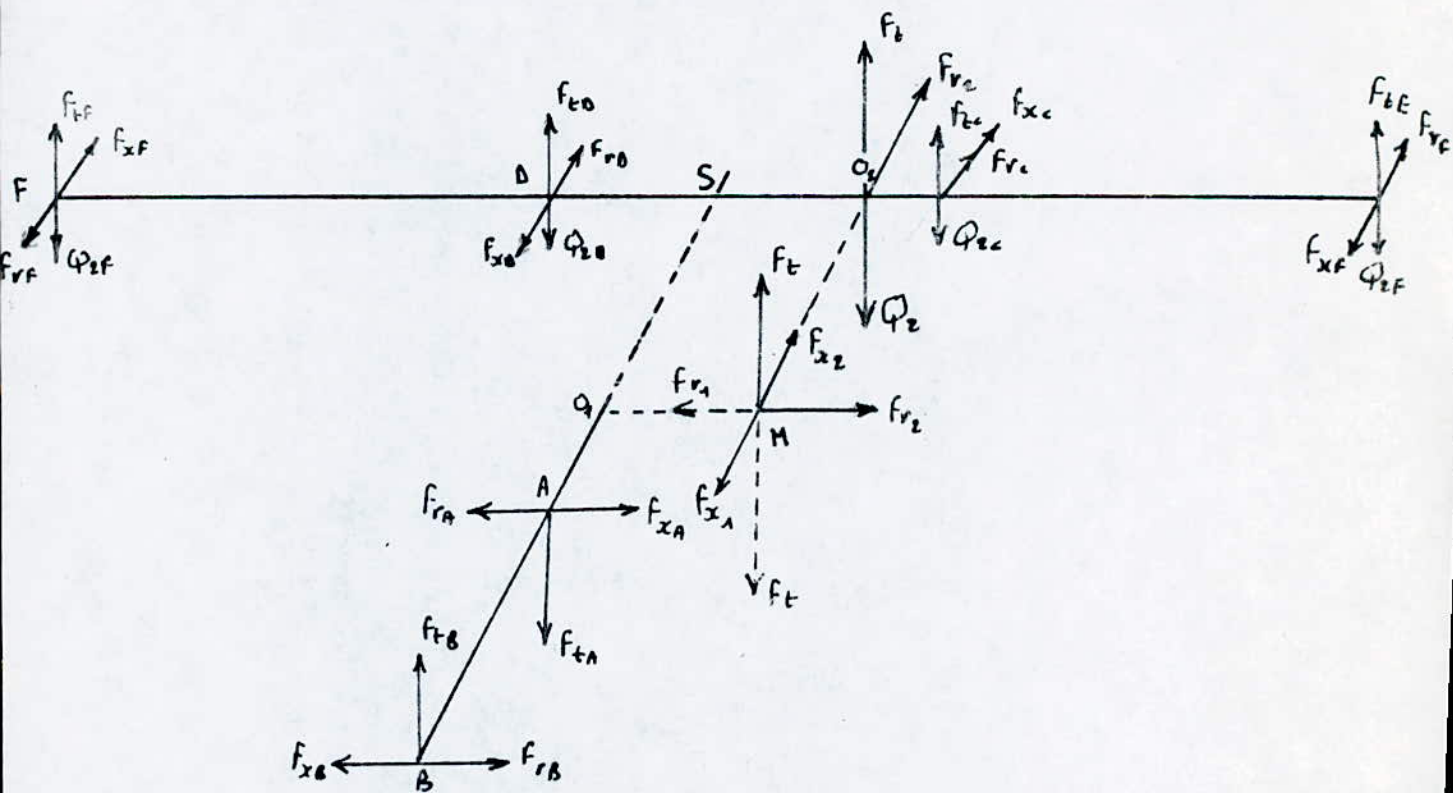
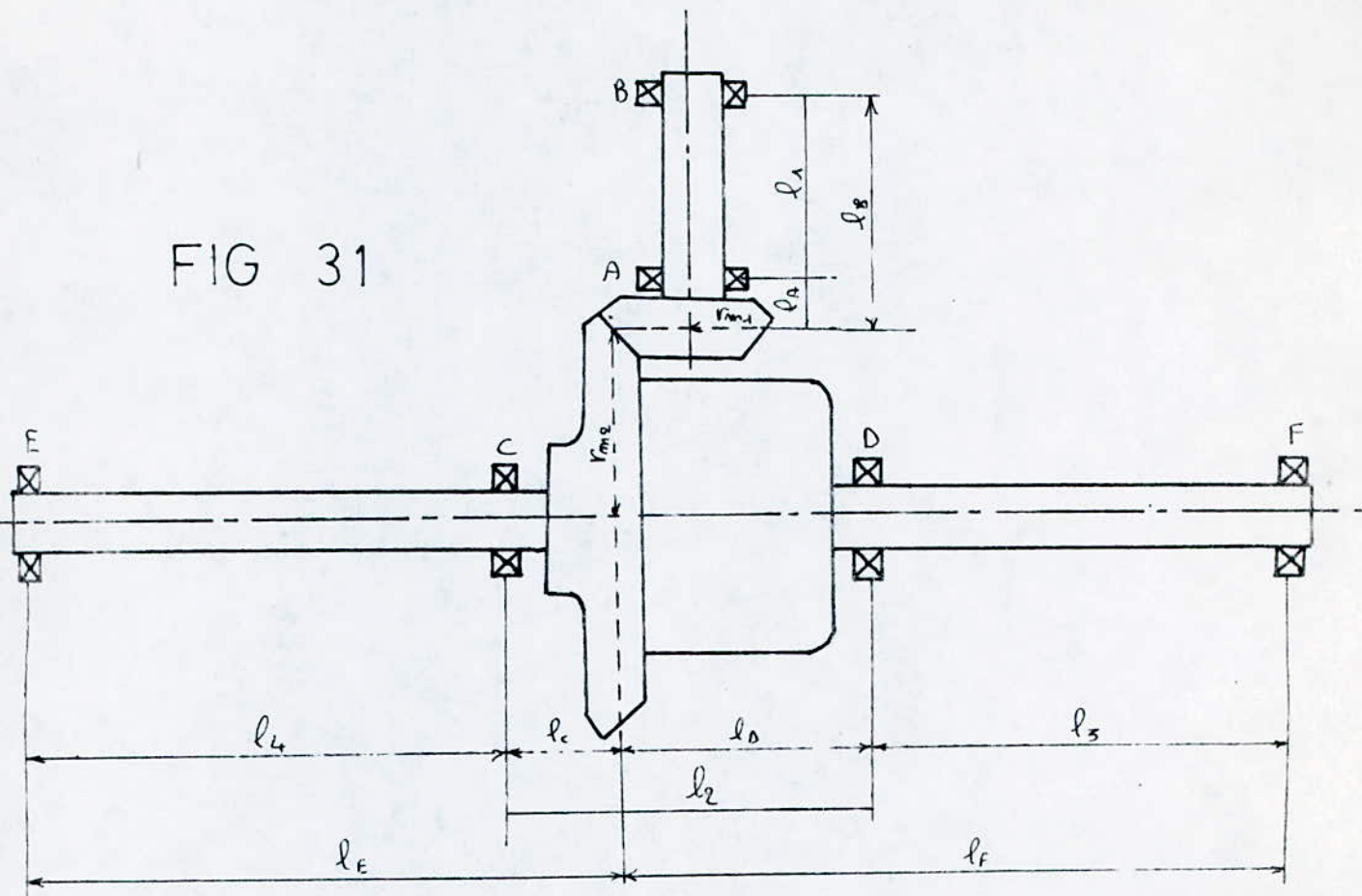
$$F_t = \frac{P}{v_E} \quad [N]$$

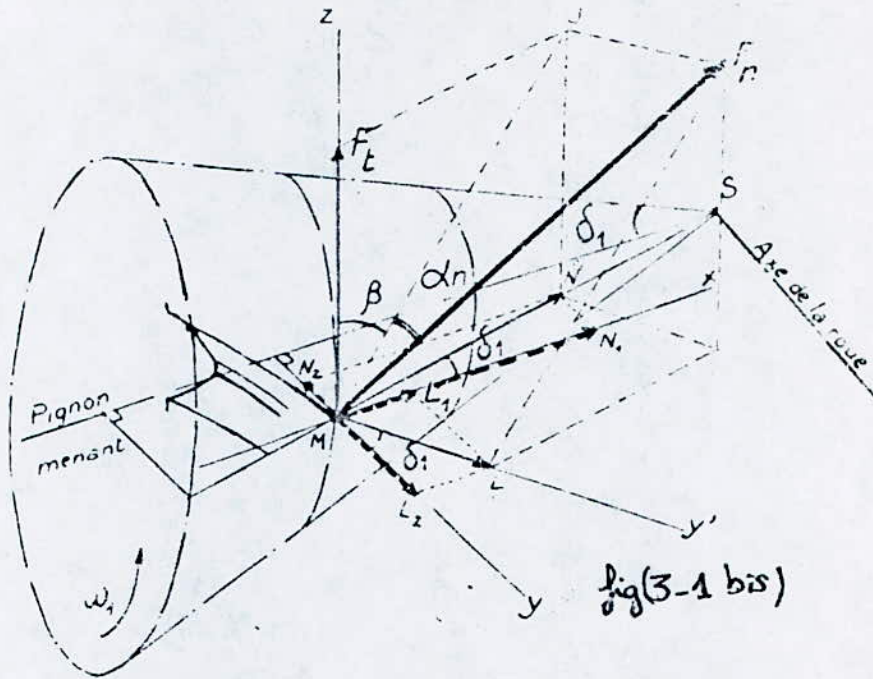
$v_E = \omega_1 \frac{d_{m1}}{2}$: vitesse tangentielle du pignon.

$P [W]$: puissance à l'entrée du pignon.

- Composante de F_m selon la génératrice
(s.M) $\rightarrow N = F_t \operatorname{tg} \beta$.

FIG 31





- Composante de F_n selon la normale (My') à la génératrice (SM) $L = \frac{F_t \operatorname{tg} \alpha}{\cos \beta}$

a- Les composantes de N

- suivant M_x : $N_1 = F_t \operatorname{tg} \beta \cos \delta_1$

- suivant M_y : $N_2 = F_t \operatorname{tg} \beta \sin \delta_1$

b- Les composantes de L

- suivant M_x : $L_1 = \frac{F_t}{\cos \beta} \operatorname{tg} \alpha \sin \delta_1$

- suivant M_y : $L_2 = \frac{F_t}{\cos \beta} \operatorname{tg} \alpha \cos \delta_1$

3.1.1 EFFORTS SUR LA ROUE [1]

a- Effort radial: .

$$\overline{F}_{r_2} = \overline{N}_1 + \overline{L}_1 \Rightarrow F_{r_2} = F_t \left(\operatorname{tg} \beta \cos \delta_1 + \frac{\operatorname{tg} \alpha \sin \delta_1}{\cos \beta} \right)$$

b. Effort axial :

$$F_{x_2} = F_t \frac{\operatorname{tg} \alpha \cos \delta_1}{\cos \beta} - \operatorname{tg} \beta \sin \delta_1$$

3.1.2 EFFORTS SUR LE PIGNON [1]

a. Effort radial

$$\overline{F}_{r_1} = -\overline{F}_{x_2}$$

b. Effort axial

$$\overline{F}_{x_1} = -\overline{F}_{r_2}$$

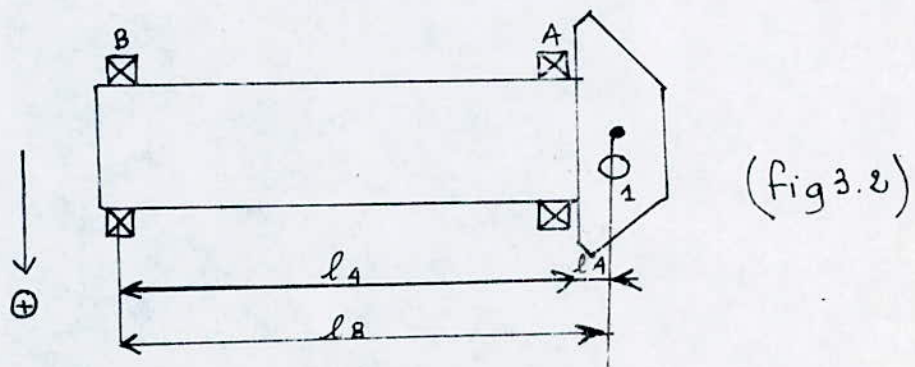
Remarque : L'effort axial sur l'un des deux éléments est égal et opposé à l'effort radial sur l'autre élément et vice-versa.

3.2 EFFORT SUR LES ARBRES ET LES PALIERS [1]

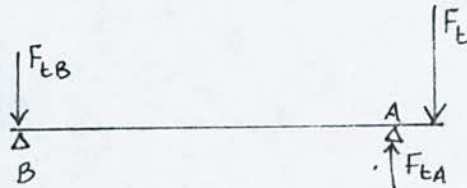
3.2.1 EFFORTS SUR LES PALIERS

a. Efforts sur les paliers A et B : (fig 3.2)

L'arbre pignon est soumis à une flexion composée de torsion.

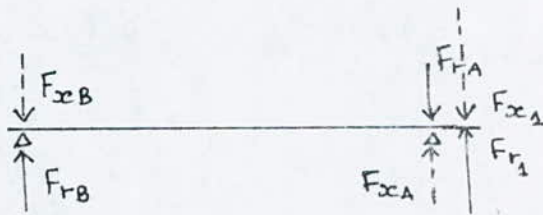


$$\left. \begin{aligned} F_{tA} &= F_t \frac{l_B}{l_1} \\ F_{tB} &= F_t \frac{l_A}{l_1} \end{aligned} \right\}$$



Plan t_{x_1}

$$\left. \begin{aligned} F_{rA} &= F_{r_1} \frac{l_B}{l_1} \\ F_{rB} &= F_{r_1} \frac{l_A}{l_1} \end{aligned} \right\}$$



Plan $x_2 r_1$

$$\left. \begin{aligned} F_{xA} &= F_{x_1} \frac{r_{m_1}}{l_1} \\ F_{xB} &= F_{x_1} \frac{r_{m_2}}{l_1} \end{aligned} \right\}$$

- L'effort radial sur le palier A :

$$\bar{R}_A = \bar{F}_{tA} + \bar{F}_{x_A} + \bar{F}_{rA} \Rightarrow R_A = \sqrt{F_{tA}^2 + (F_{rA} - F_{x_A})^2}$$

- L'effort axial sur le palier A : c'est F_{x_A}

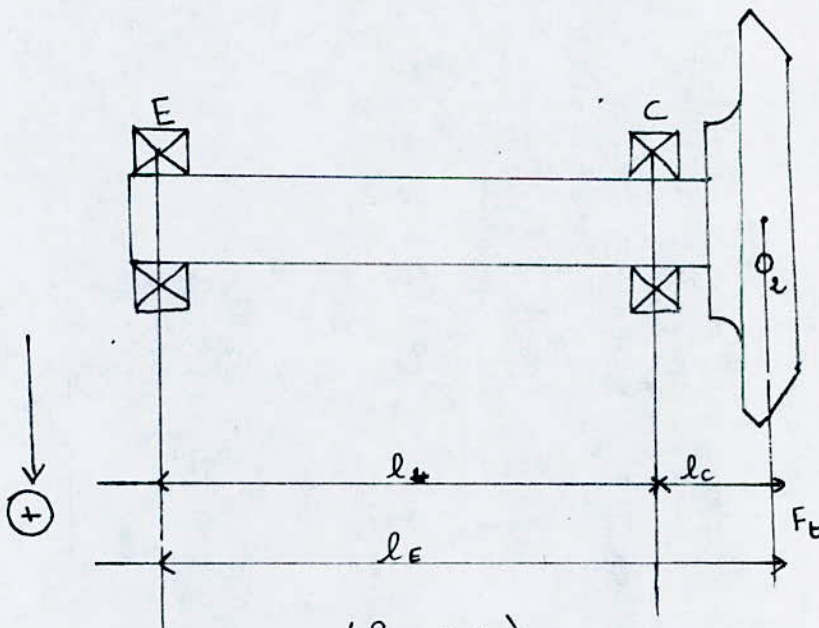
- L'effort radial sur le palier B :

$$\bar{R}_B = \bar{F}_{tB} + \bar{F}_{x_B} + \bar{F}_{rB} \Rightarrow R_B = \sqrt{F_{tB}^2 + (F_{x_B} - F_{rB})^2}$$

- L'effort axial sur le palier B : est nul.

Remarque : la charge axiale sur l'arbre pignon est absorbée par le palier A.

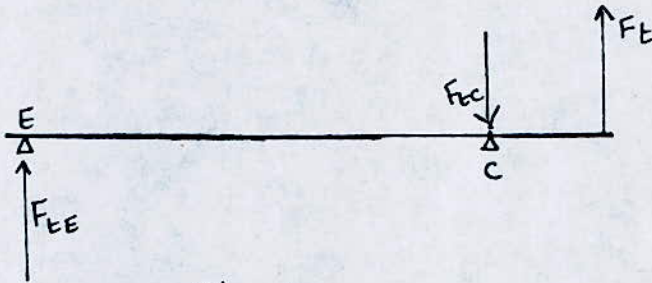
b - Paliers C et E : (fig 3.3)



(fig 3.3)

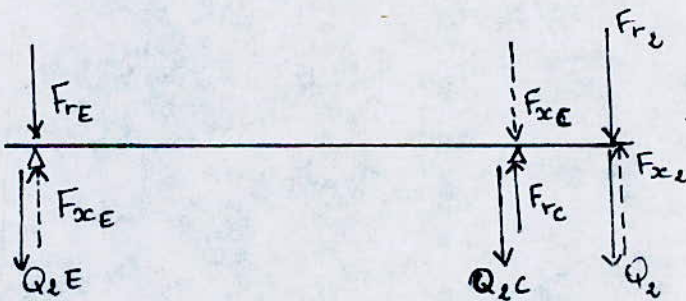
$$\left. \begin{aligned} F_{tC} &= F_t \frac{l_E}{l_c} \\ F_{tE} &= F_t \frac{l_c}{l_E} \end{aligned} \right\}$$

$$\left. \begin{aligned} F_{rc} &= F_{r2} \frac{l_E}{l_2} \\ F_{rE} &= F_{r2} \frac{l_C}{l_2} \end{aligned} \right\}$$



Plan tx_2

$$\left. \begin{aligned} F_{xc} &= F_{x2} \frac{r_{mE}}{l_2} \\ F_{xE} &= F_{x2} \frac{r_{mC}}{l_2} \end{aligned} \right\}$$



Plan x_2r_2

$$\left. \begin{aligned} Q_{2C} &= Q_2 \frac{l_E}{l_2} \\ Q_{2E} &= Q_2 \frac{l_C}{l_2} \end{aligned} \right\}$$

Q_2 : étant le poids du différentiel +

la couronne + les 2 demi-arbres. Voir remarque
cf (4.3).

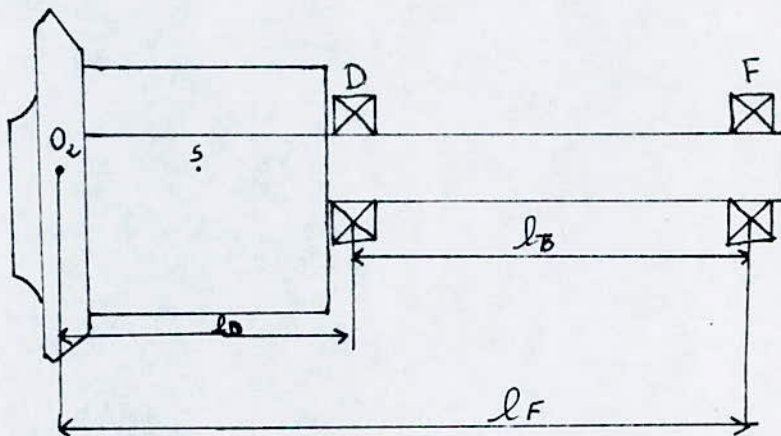
- L'effort radial sur le palier c :

$$\bar{R}_c = \bar{F}_{tc} + \bar{F}_{xc} + \bar{F}_{rc} + \bar{Q}_{2c} \Rightarrow R_c = \sqrt{(\bar{Q}_{2c} + \bar{F}_{tc})^2 + (\bar{F}_{xc} - \bar{F}_{rc})^2}$$
 - L'effort axial sur le palier c : c'est F_{xc}
-
- L'effort radial sur le palier E :

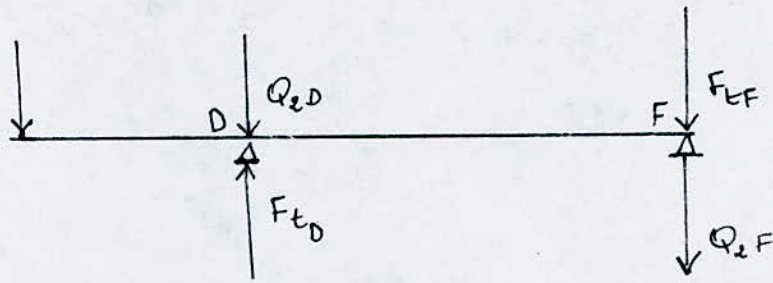
$$\bar{R}_E = \bar{F}_{tE} + \bar{F}_{xE} + \bar{F}_{rE} + \bar{Q}_{2E} \Rightarrow R_E = \sqrt{(\bar{Q}_{2E} + \bar{F}_{tE})^2 + (\bar{F}_{rE} - \bar{F}_{xE})^2}$$
 - L'effort axial sur le palier E est nul.

Remarque : La charge axiale est supportée par le palier
C.

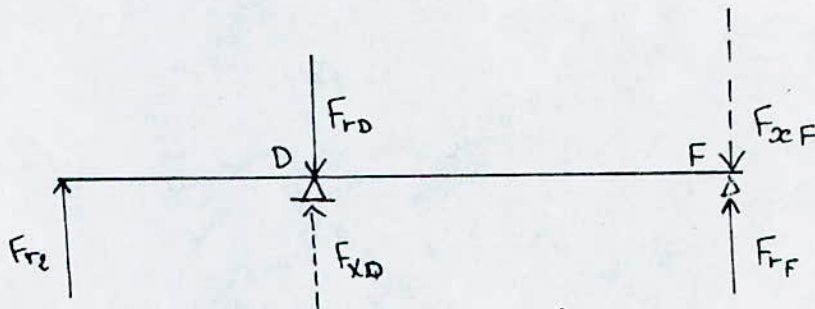
c - Paliers D et F : (fig 3.4)



(Fig 3.4)



Plan x_2



Plan x_1

$$F_{tD} = F_E \frac{l_E}{l_3}$$

$$F_{tF} = F_E \frac{l_D}{l_3}$$

$$F_{rD} = F_{r2} \frac{l_F}{l_3}$$

$$F_{rF} = F_{r2} \frac{l_0}{l_3}$$

$$F_{xD} = F_{x2} \frac{r_{m2}}{l_3}$$

$$F_{xF} = F_{x2} \frac{r_{m2}}{l_3}$$

$$\left. \begin{aligned} Q_{2D} &= Q_2 \frac{l_F}{l_3} \\ Q_{2F} &= Q_2 \frac{l_D}{l_3} \end{aligned} \right\}$$

$$\left\{ \begin{aligned} &\text{- L'effort radial sur le palier D est :} \\ &\bar{R}_D = \bar{F}_{tD} + \bar{F}_{xD} + \bar{F}_{rD} + \bar{Q}_{2D} \Rightarrow R_D = \sqrt{(Q_{2D} - \bar{F}_{tD})^2 + (\bar{F}_{rD} - \bar{F}_{xD})^2} \\ &\text{- L'effort axial sur le palier D est nul} \end{aligned} \right.$$

$$\left\{ \begin{aligned} &\text{- L'effort radial sur le palier F :} \\ &\bar{R}_F = \bar{F}_{tF} + \bar{F}_{rF} + \bar{F}_{xF} + \bar{Q}_{2F} \Rightarrow R_F = \sqrt{(Q_{2F} + \bar{F}_{tF})^2 + (\bar{F}_{rF} - \bar{F}_{xF})^2} \\ &\text{- L'effort axial sur le palier F est : nul.} \end{aligned} \right.$$

3.22 EFFORTS SUR LES ARBRES [1]

a - Sur l'arbre pignon :

$$\text{- Effort radial : } \bar{R}_1 = \bar{F}_t + \bar{F}_{r1} \Rightarrow R_1 = \sqrt{F_t^2 + F_{r1}^2}$$

$$\text{- Effort axial : } F_{x1}$$

b - Sur l'arbre 2 et 3 :

- Effort radial :

$$\bar{R}_2 = \bar{F}_t + \bar{F}_{r2} + \bar{Q}_2 \Rightarrow R_2 = \sqrt{(F_t + Q_2)^2 + F_{r2}^2}$$

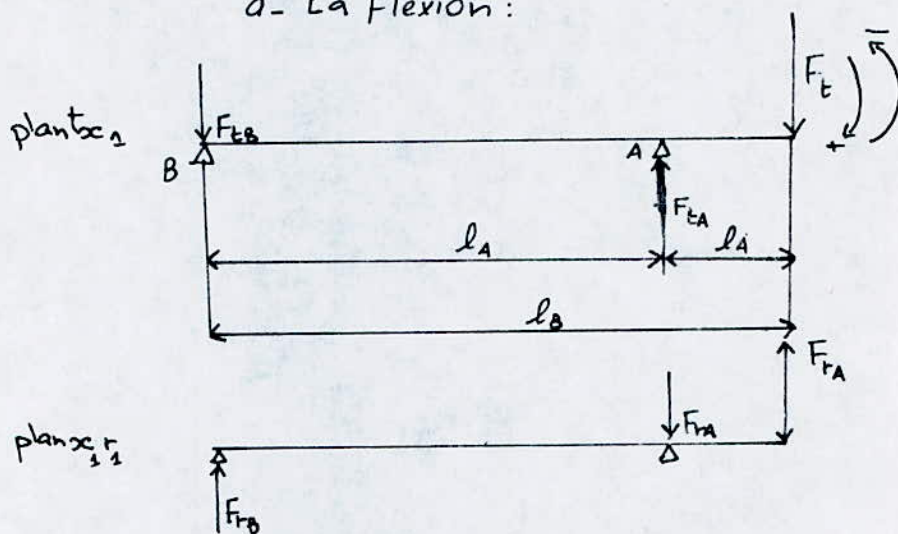
$$\text{- Effort axial : } F_{x2}$$

3.3 CALCUL D'ARBRE [5]

3.3.1 CALCUL DU DIAMÈTRE MINIMUM DE L'ARBRE PIGNON

L'arbre pignon est soumis à un moment de flexion composé de torsion.

a- La flexion :



$$0 < x < l_A \quad M_{ft_1} = F_{t_1} x$$

$$l_A < x < l_B \quad M_{ft_2} = F_t \frac{l_A}{l_1} (l_B - x)$$

$$0 < x < l_A \quad M_{fr_1} = -F_{r_1} x$$

$$l_A < x < l_B \quad M_{fr_2} = -F_{r_1} \frac{l_A}{l_1} (l_B - x)$$

Le moment de flexion composé est :

$$M_{f1max} = \sqrt{M_{ft1}^2 + M_{fra}^2}$$

(la section dangereuse se trouve en A) .

b- La torsion :

$$M_{T1} = F_t \frac{d_{ms1}}{2}$$

c - Contrainte réduite et moment réduit

- La contrainte réduite est donnée par :

$$\sigma_{red} = \sqrt{\sigma_{max}^2 + 3\tau_{max}^2} = \frac{M_{red}}{\pi d^3/32}$$

avec :

$$\sigma_{RP} \leq \sigma_{max} = \frac{M_{f1max}}{\pi d^3/32} : \text{contrainte max due à la flexion.}$$

$$\tau_{RP} \leq \tau_{max} = \frac{M_{T1}}{\pi d^3/16} : \text{contrainte due à la torsion.}$$

- Le moment réduit est alors :

$$M_{r2} = \sqrt{M_{f1max}^2 + \frac{3}{4} M_{T1}^2}$$

σ_{RP} : (Contrainte) résistance pratique à la flexion.

τ_{RP} : Résistance pratique au cisaillement.

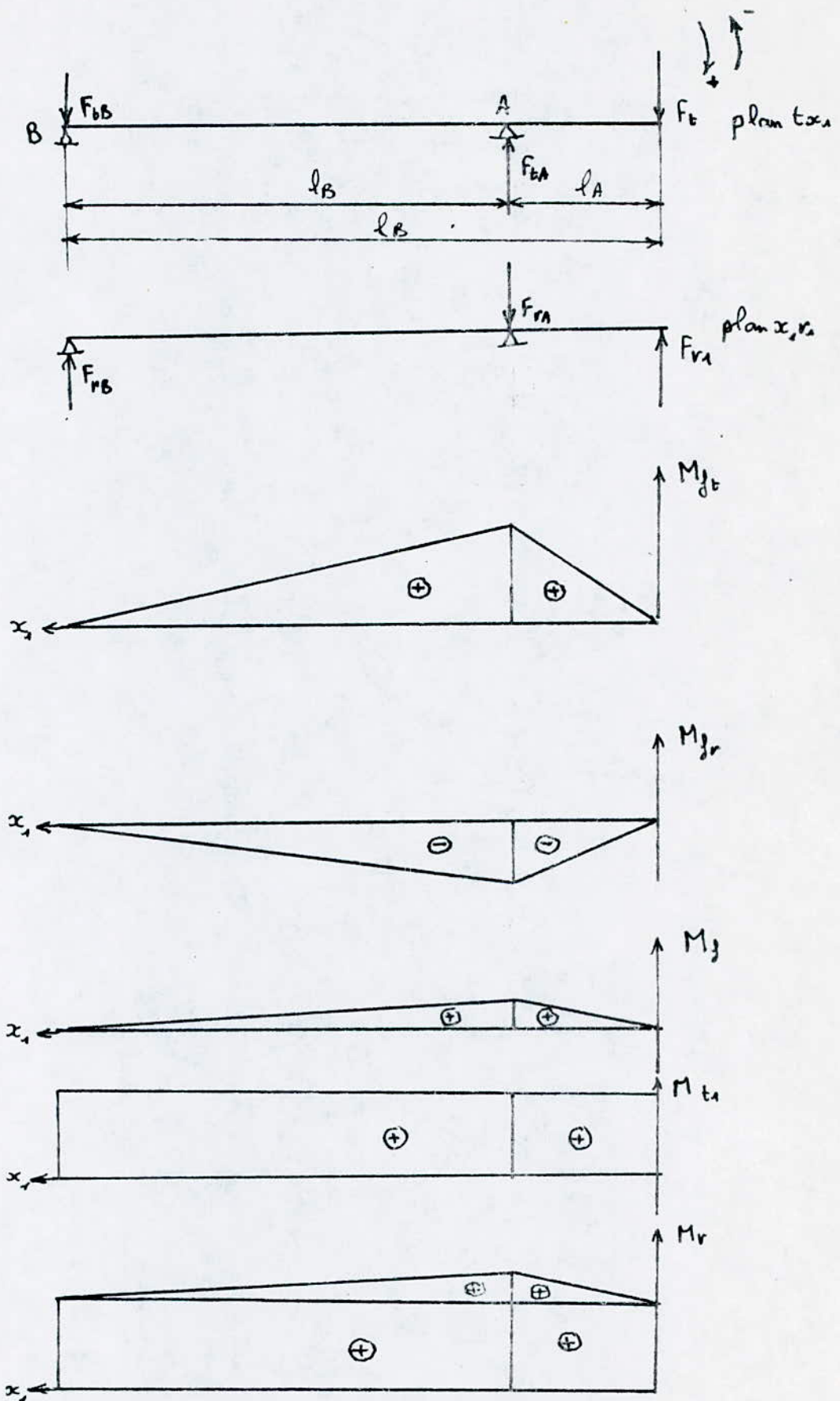


FIG 35

d- Le diamètre minimum

Le diamètre se calcule à la résistance pratique $\overline{\sigma}_{RP}$

$$\overline{\sigma}_{RP} = \frac{\overline{\sigma}_{red}}{s} \quad ; s : \text{coefficient de sécurité adopté.}$$

donc
$$d_{smin} = \sqrt[3]{\frac{32 M_{r2}}{\pi \overline{\sigma}_{RP}}}$$
 Diamètre minimum du pignon d'attaque.

3.3.2 CALCUL DU DIAMÈTRE MINIMUM DU [5] DEMI-ARBRE MOTEUR.

- Les deux demi-arbres moteur sont identiques, on calculera alors le demi-arbre (2) de droite (fig 3.6) qui est plus chargé que celui de gauche.

a- La flexion :

Le poids dans ce cas n'est pas négligé, c'est un poids estimé = Q_2

$$\begin{array}{ll} \text{plan } x_2 t : & 0 \leq x \leq l_c \quad M_{F_{t_1}} = F_{t_1} x \\ & l_c \leq x \leq l_E \quad M_{F_{t_2}} = F_{t_2} \frac{l_c}{l_2} (l_E - x). \end{array}$$

$$\begin{array}{ll} \text{plan } x_2 \overline{t} : & 0 \leq x \leq l_c \quad M_{F_{r_1}} = -F_{r_1} x \\ & l_c \leq x \leq l_E \quad M_{F_{r_2}} = -F_{r_2} \frac{l_c}{l_2} (l_E - x) \end{array}$$

$$\begin{array}{ll} \text{plan } x_2 t : & 0 \leq x \leq l_c \quad M_{F_{Q_1}} = +Q_2 x \\ & l_c \leq x \leq l_E \quad M_{F_{Q_2}} = +Q_2 \frac{l_c}{l_2} (l_E - x). \end{array}$$

Le moment de flexion composé est :

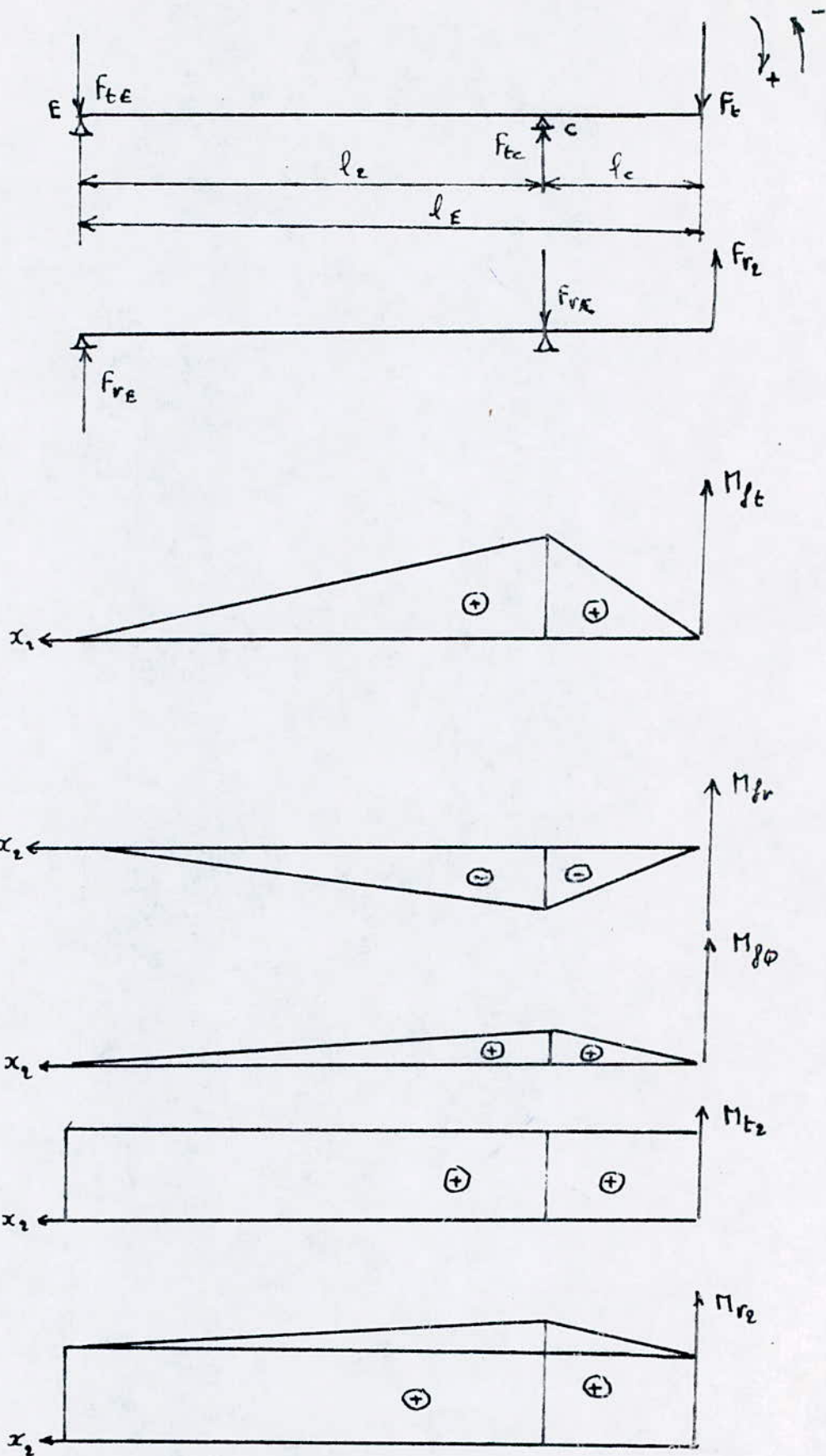


FIG 35

$$M_{f_{2\max}} = \sqrt{(M_{f_{2c}} - M_{f_{2rc}})^2 + F_{frc}^2}$$

La section dangereuse se trouve en C.

b- La torsion :

$$M_{t_2} = F_t \frac{d_{m2}}{2}$$

c- contrainte réduite et moment réduit :

- moment réduit

$$M_{r_2} = \sqrt{M_{f_{2\max}}^2 + \frac{3}{4} M_{t_2}^2}$$

- contrainte réduite

$$\sigma_{red} = \sqrt{\sigma_{\max}^2 + 3\tau_{\max}^2} = \frac{M_{r_2}}{\frac{\pi d^3}{32}}$$

d- Le diamètre minimum

$$d_{2\min} = \sqrt[3]{\frac{32 M_{r_2}}{\pi \sigma_{RP}}}$$

avec $\sigma_{RP} = \frac{\sigma_{red}}{s}$ et s : adopté.

3-4 CALCUL DES CANNELURES [7]

On effectuera ce calcul en tenant compte de la résistance au matage et au cisaillement.

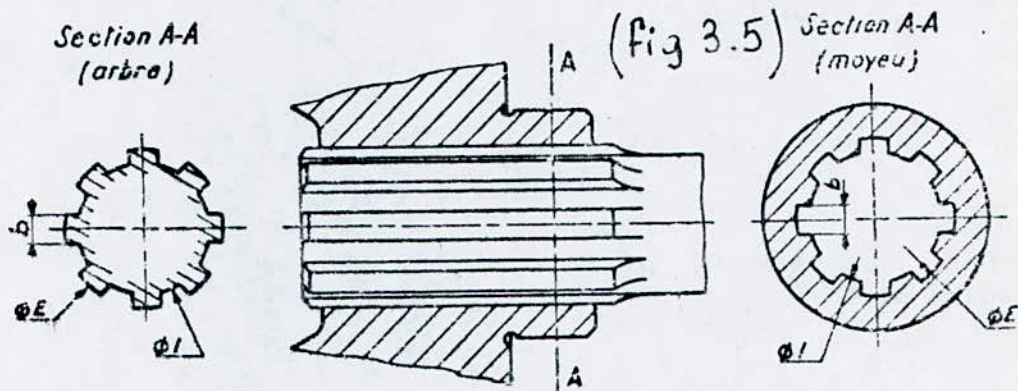
- La pression unitaire sur les flancs (matage) doit satisfaire la condition :

$$P \leq P_{\text{admissible}} \Rightarrow \frac{T}{S} = \frac{T}{NhL} \quad (\text{Fig 3.5})$$

avec : $S = NhL$: la surface d'appui théorique totale des cannelures.

N : nombre de cannelures

$h = E - I$ (tableau fig 3.6) hauteur des cannelures.



Série légère				Série moyenne (fig 3.6)				Série forte						
n	l	E	b	n	l	E	b	n	l	E	b			
6	23	26	6	6	16	20	4	10	16	20	2,5			
	26	30			18	22			5	18		23	3	
	28	32			7	21				26				
8	32	36	6		23	28	6		23	29	4			
	36	40			7	26			32	5				
	42	46			8	28			34			7		
	46	50	9	8	32	38	6		32	40		5		
	52	58			10	36			42	7			36	45
	56	62				8			42	48			8	42
62	68	12	46		54	9	46		56	7				

$P = \frac{T}{S}$: la pression unitaire théorique sur flancs, sous la charge T.

P_{adm} : contrainte de rupture du matériau de l'organe (arbre ou moyeu) le moins résistant.

avec $T_2 = \frac{M_c}{d_{2min}}$ M_c : couple exercé par la couronne.
 d_{2min} : diamètre du demi-arbre moteur

ou $T_1 = \frac{M_p}{d_{1min}}$ M_p : couple exercé sur le pignon d'attaque.
 d_{1min} : diamètre minimum de l'arbre du pignon.

- Pour la pression unitaire on adoptera :

$$P = 0,41 P_{adm} [N/mm^2]$$

connaissant T et P_{adm} on tire $L \geq \frac{T}{0,41 P_a N h}$

avec N : choisit

- Pour la longueur L calculée, il convient de vérifier la résistance des cannelures au cisaillement.

- la surface sollicitée est : $S = NbL$ (fig 3.5)

En considérant la même contrainte que pour le matage, vu que ce dernier est prépondérant ;

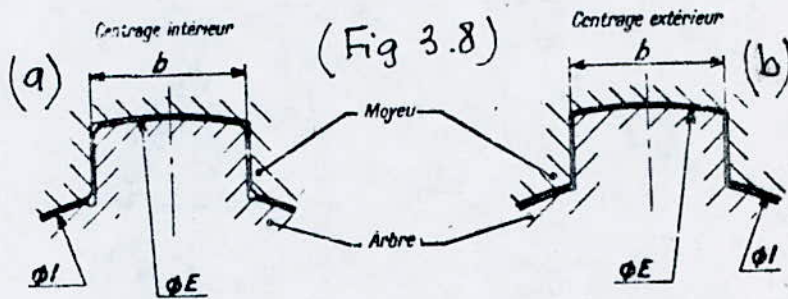
donc : $L \geq \frac{T}{0,41 P_a N \cdot b}$

- Ajustements :

Les ajustements qu'on préconise se rapportent aux surfaces fonctionnelles de l'arbre et du moyeu (tableau fig 3.7).

Cas	Montage	l	b	E
Centrage intérieur	glissant	H7/f7	H11/d10	H10/f7
	fixe	H7/h7	H11/h10	H10/h7
Centrage extérieur (fig 3.7)	glissant	H7/a11	H11/d11	H10/f7
	fixe		H11/h10	H10/h7

Le centrage des pièces est réalisé intérieurement (fig 3.8a) ou extérieurement (fig 3.8b).



chapitre 4

CALCUL DE ROULEMENTS

CHAPITRE 4

CALCUL DE ROULEMENTS

4.1 DISPOSITION DE L'ARBRE MOTEUR DE L'ESSIEU

Le choix du type de roulements et la détermination de leurs paramètres dimensionnels est lié à la façon avec laquelle, l'extrémité externe de l'arbre moteur de l'essieu est supportée dans le carter ; l'extrémité interne étant liée au planétaire par des cannelures. A ce propos on distingue trois variantes

4.1.1 ESSIEU SEMI-FLOTTANT : (Fig 4.1)

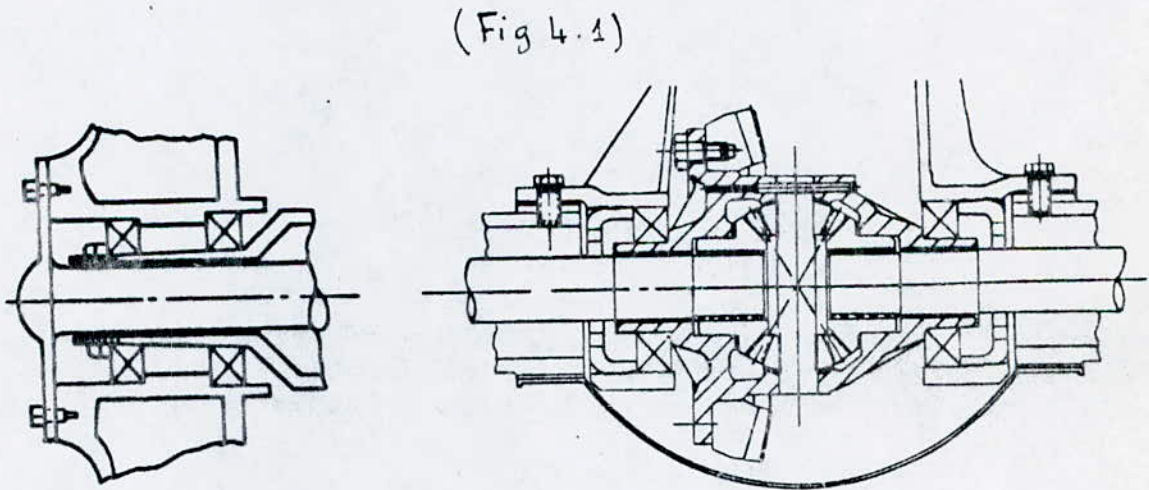


Figure 4.1 Pont complètement flottant

L'extrémité de la roue de l'essieu est supportée dans le carter par un roulement simple situé à environs 150mm

de celle-ci .

L'arbre de roue transmet le couple d'entraînement et résiste en plus aux fléchissements causés par le déplacement vers l'avant du véhicule et aux poussées de butées latérales qui s'exercent lors des virages ; comme il doit aussi supporter le poids entier du véhicule , raison pour laquelle , une grande pression s'exerce sur lui .

4.1.2 ESSIEU TROIS QUARTS FLOTTANT: (Fig 4.2)

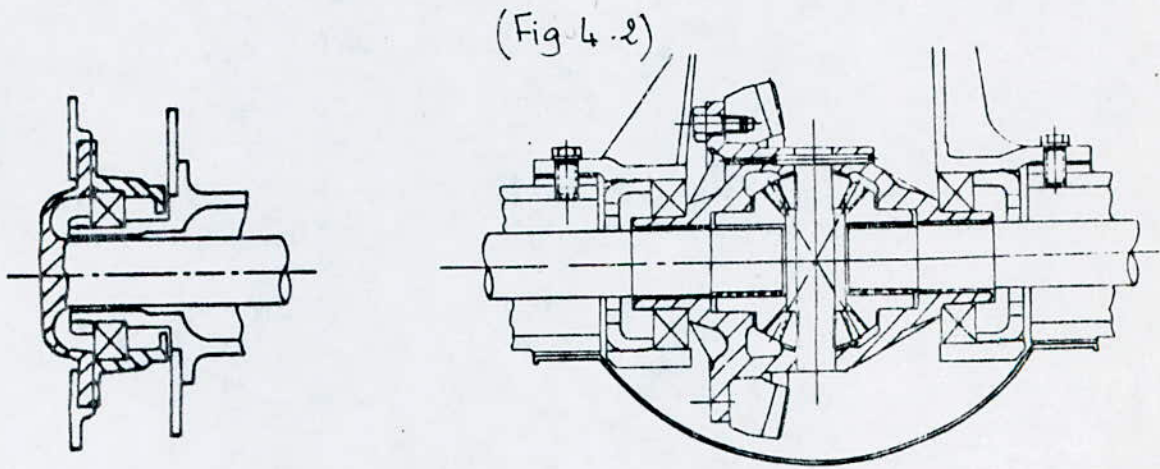


Figure 4.2. Pont aux trois quarts flottant

Utilisé sur camion de trois quarts de tonne et d'une tonne ; dans ce type d'essieu , le roulement simple , supportant l'extrémité extérieure , est placé entre l'extérieur du carter de l'essieu et le moyeu de roue .

Ce type se distingue par rapport au premier par le fait que , 75% de la force gravitationnelle passe directement du carter de l'essieu à la roue , donc 25% seulement de la force sont

supportés par l'arbre de roue ; de lourdes charges peuvent être alors transportées sans risque de briser l'essieu.

4.1.3 ESSIEU ENTIÈREMENT FLOTTANT (Fig 4.3)

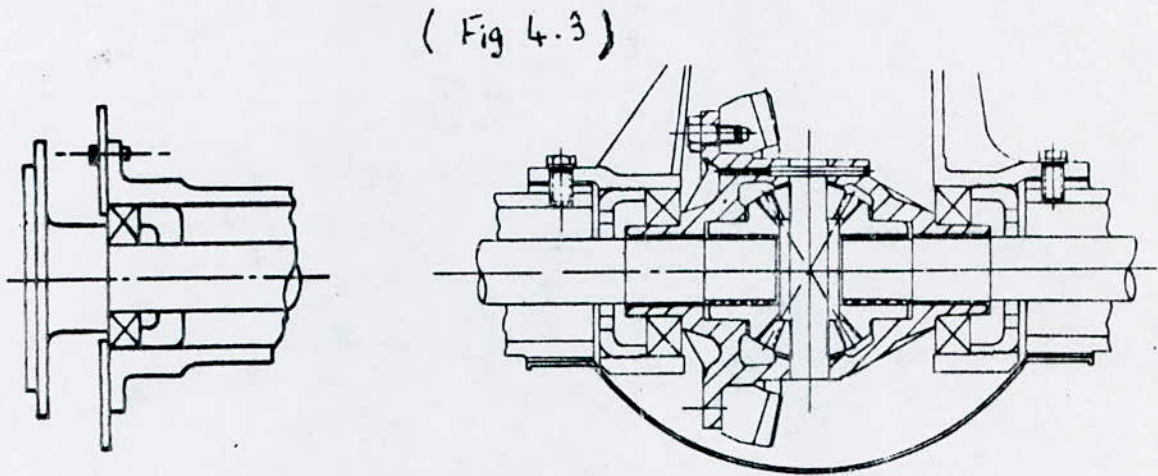


Figure 4.3. Pont semi-flottant

Utilisé sur tous les gros camions, deux roulements à rouleaux coniques supportent l'extrémité extérieure de l'essieu et sont placés entre l'extérieur du carter de l'essieu et le moyeu de roue, un sur le bord intérieur et l'autre sur le bord extérieur du moyeu.

- La roue est montée sur le carter de l'essieu à la manière d'une roue montée sur un essieu fixe.

Dans ce type toute la force est supportée par l'arbre de la roue, l'essieu de roue ne fait que transmettre le couple d'entraînement.

4.2 DISPOSITION DU COUPLE PIGNON / COURONNE

Le carter du différentiel est ajusté grâce à quatre roulements à rouleaux coniques. (Fig 2.10 bis) et (Fig 3.1)

- Deux roulements de pignon : qui servent à supporter le pignon d'attaque.

- Deux roulements de carter : qui servent à supporter la cage du différentiel. Et qui permettent au dispositif de tourner librement et maintiennent le pignon d'attaque adéquatement engrené à la couronne.

Engrenement durant lequel deux forces résultantes agissent :

- La poussée axiale.
- La charge radiale.

4.2.1 MONTAGE DE LA COURONNE

- La couronne et le boîtier du différentiel tournent solidairement dans les roulements du carter.

4.2.2 MONTAGE DU PIGNON

Le type des montages du pignon dépend de la disposition des roulements, de l'arbre d'attaque par rapport au pignon.

a - Montage du pignon entre deux paliers :

Dans ce type de montage les roulements sont installés des deux côtés du pignon d'attaque.

- Deux roulements à rouleaux coniques absorbant toute la charge axiale et une partie de la charge radiale, sont disposés l'un près de l'autre sur le côté arbre

de commande du pignon.

- Un roulement-guide généralement à rouleaux droits annulaire est monté dans le carter, à l'extrémité arrière de l'arbre du pignon ce roulement absorbe seulement la charge radiale.

b - Montage du pignon en saillie

Les deux roulements sont disposés sur le côté arbre de commande du pignon, ces deux roulements à rouleaux coniques, sont plus espacés l'un de l'autre, de façon à ce que le roulement avant ait un bras de levier plus long pour absorber la charge radiale, c'est cette dernière solution qu'on adoptera pour le calcul qui nous concerne.

Remarque: Cette disposition (essieu entièrement flottant) nous permet d'annuler dans le calcul d'arbre le poids \overline{Q}_2 .

4-3 DÉTERMINATION DES DIMENSIONS DES ROULEMENTS.

4.3.1 PARAMÈTRES DE BASE

- Le type de sollicitations agissant sur les arbres et les paliers ainsi que leurs intensités, constituent les paramètres de base pour le choix du type de roulements et la détermination de leurs dimensions.

- Le type de roulements qui convient au pont (C.F. 4.2), est le roulement à rouleaux coniques.

- Les charges appliquées sur les différents paliers sont déterminées comme suit (C.F. 3.2).

a. Charges radiales

- Palier A :

$$R_A = \sqrt{F_{tA}^2 + (F_{rA} - F_{xA})^2}$$

- Palier B :

$$R_B = \sqrt{F_{tB}^2 + (F_{xB} - F_{rB})^2}$$

- Palier C :

$$R_C = \sqrt{F_{tC}^2 + (F_{xC} - F_{rC})^2}$$

Les charges
sont en [daN]

- Palier E :

$$R_E = \sqrt{F_{tE}^2 + (F_{rE} - F_{xE})^2}$$

- Palier D :

$$R_D = \sqrt{F_{tD}^2 + (F_{rD} - F_{xD})^2}$$

- Palier F :

$$R_F = \sqrt{F_{tF}^2 + (F_{xF} - F_{rF})^2}$$

b. Charges axiales :

- sur l'arbre du pignon d'attaque F_{x1}

- sur les demi-arbres moteur F_{x2}

4.3.2 CALCUL DE LA CHARGE DYNAMIQUE ÉQUIVALENTE [8]

Cette charge est donnée par la relation :

$$P = X V F_r + Y F_x$$

- F_r : charge radiale .

- F_x : charge axiale .

- X: Facteur radial
- Y: Facteur axial
- V: facteur de rotation (dans notre cas $V=1$)*

a. On calcule le rapport $\frac{F_x}{F_r}$: on tire du (tableau 4.1)

dans la colonne $\frac{F_x}{F_r} > e$, les facteurs X et Y.

b. Le choix de la série de dimension dépend de la précision d'ajustement qu'on veut appliquer au roulement (tableau 4.2)

ROULEMENT A ROULEAUX CONIQUES		$\frac{F_x}{V \cdot F_r} \leq e$		$\frac{F_x}{V \cdot F_r} > e$		e
SERIE DE DIMENSIONS	ALESAGE d	X	Y	X	Y	
02	17 à 20	1	0	0.4	1.75	0.34
	25 à 40				1.6	0.34
	45 à 110				1.45	0.41
22	30 à 40	1	0	0.4	1.6	0.34
	45 à 110				1.45	0.41
03	15 à 17	1	0	0.4	2.1	0.28
	20 à 35				1.95	0.31
	40 à 120				1.75	0.34

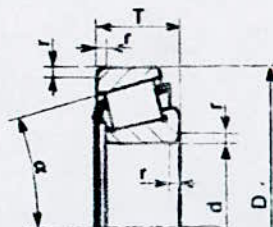
(Tableau 4.1).

c. On tire du (tableau 4.2) les valeurs des charges dynamiques (C) de base, des roulements.

40-79

ROULEMENTS À ROULEAUX
CONIQUESTYPE KB
FIG 42Angle de contact α compris entre 10° et 17°

Exemple de désignation, voir § 40-3



ÉCARTS SUR LA COTE T - Valeurs en microns

Alésage nominal d en mm	Série de dimensions 02 et 22	Série de dimensions 03 et 23
de 10 à 50 inclus	± 250	± 250
50 à 80	± 250	± 500
80 à 120	± 500	± 500
120 à 140	± 750	

d	Série de dimensions 02						Série de dimensions 03						Série de dimensions 22						Série de dimensions 23						
	D	T	r	C ₀ daN	C ₁ daN	n max tr/min	D	T	r	C ₀ daN	C ₁ daN	n max tr/min	D	T	r	C ₀ daN	C ₁ daN	n max tr/min	D	T	r	C ₀ daN	C ₁ daN	n max tr/min	
15							42	14.25	1.5	1 270	1 930	8 000													
17	40	13.25	1.5	1 100	1 630	8 000	47	15.25	1.5	1 560	2 360	8 000								47	20.25	1.5	2 120	3 000	6 000
20	47	15.25	1.5	1 660	2 360	8 000	52	16.25	2	2 000	2 900	8 000								52	22.25	2	2 850	3 750	5 000
25	52	16.25	1.5	1 930	2 850	8 000	62	18.25	2	2 650	3 800	8 000								62	25.25	2	3 900	5 100	5 000
30	62	17.25	1.5	2 550	3 450	8 000	72	20.75	2	3 400	4 800	8 000	82	21.25	1.5	3 400	4 300	8 000	72	28.75	2	5 200	6 550	5 000	
35	72	18.25	2	3 250	4 400	8 000	80	22.75	2.5	4 550	6 200	8 000	72	24.25	2	4 500	5 600	8 000	80	32.75	2.5	6 550	8 150	4 000	
40	80	19.75	2	3 900	5 100	6 000	90	25.25	2.5	5 600	7 350	5 000	80	24.75	2	5 000	6 400	6 000	90	35.25	2.5	8 300	10 000	4 000	
45	85	20.75	2	4 400	5 700	5 000	100	27.25	2.5	7 200	9 150	5 000	85	24.75	2	5 600	6 800	5 000	100	38.25	2.5	10 200	12 000	4 000	
50	90	21.75	2	5 200	6 400	5 000	110	29.25	3	8 300	10 800	4 000	90	24.75	2	5 700	6 950	5 000	110	42.25	3	12 700	14 600	4 000	
55	100	22.75	2.5	6 100	7 650	4 000	120	31.50	3	9 650	12 200	4 000	100	26.75	2.5	7 500	9 000	4 000	120	45.50	3	14 600	17 000	3 000	
60	110	23.75	2.5	6 550	8 300	4 000	130	33.50	3.5	11 600	14 300	4 000	110	29.75	2.5	9 150	10 800	4 000	130	48.50	3.5	17 300	19 600	3 000	
65	120	24.75	2.5	7 800	9 800	4 000	140	36	3.5	13 400	16 800	3 000	120	32.75	2.5	11 200	12 900	4 000	140	51	3.5	20 000	22 400	3 000	
70	125	26.25	2.5	8 800	10 900	3 000	150	38	3.5	15 300	19 000	3 000	125	33.25	2.5	11 800	13 400	3 000	150	54	3.5	22 800	25 000	2 500	
75	130	27.25	2.5	10 000	12 000	3 000	160	40	3.5	17 000	20 800	3 000	130	33.25	2.5	12 000	13 700	3 000	160	58	3.5	26 500	28 500	2 500	
80	140	28.25	3	10 400	12 700	3 000	170	42.50	3.5	19 000	23 200	2 500	140	35.25	3	13 700	16 000	3 000	170	61.50	3.5	29 000	32 000	2 500	
85	150	30.50	3	12 500	15 000	3 000	180	44.50	4	21 600	26 000	2 500	150	38.50	3	16 300	18 300	2 500	180	63.50	4	32 000	31 500	2 000	
90	160	32.50	3	14 000	16 800	2 500	190	46.50	4	23 800	28 000	2 500	160	42.50	3	19 300	21 600	2 500	190	67.50	4	36 000	35 500	2 000	
95	170	34.50	3.5	15 800	18 800	2 500	200	49.50	4	26 500	31 500	2 500	170	45.50	3.5	22 000	24 000	2 500	200	71.50	4	40 000	38 000	2 000	
100	180	37	3.5	18 300	21 200	2 500	215	51.50	4	29 000	34 500	2 000	180	49	3.5	25 000	27 000	2 500	215	77.50	4	46 500	47 500	1 600	
105	190	39	3.5	20 000	23 200	2 500							190	53	3.5	28 000	31 000	2 000	225	81.50	4	52 000	54 000	1 600	
110	200	41	3.5	23 200	26 000	2 000							200	58	3.5	32 500	34 000	2 000	240	84.50	4	57 000	54 000	1 600	
120	215	43.50	3.5	26 000	29 000	2 000							215	61.50	3.5	36 000	35 500	2 000	260	90.50	4	65 500	62 000	1 600	
130	230	43.75	4	28 000	28 000	2 000							230	67.50	4	47 500	42 500	1 600							
140	250	45.75	4	32 500	32 000	1 600							250	71.75	4	56 000		1 600							

d. On calcule les charges axiales sur les différents roulements. ce calcul dépend des conditions de montage et des conditions de charge (tableau 4.3).

TABLEAU 4.3		CHARGE AXIALE POUR ROULEMENTS A CONTACT OBLIQUE	
Condition de montage		Condition de charges	Charge axiale
	1a	$\frac{F_{r1}}{Y_1} > \frac{F_{r2}}{Y_2}$	$F_{a1} = \frac{0,5 F_{r1}}{Y_1}$
	1b	$\frac{F_{r1}}{Y_1} < \frac{F_{r2}}{Y_2}$ $K_a > 0,5 \left(\frac{F_{r2}}{Y_2} - \frac{F_{r1}}{Y_1} \right)$	$F_{a2} = F_{a1} + K_a$
	1c	$\frac{F_{r1}}{Y_1} < \frac{F_{r2}}{Y_2}$ $K_a < 0,5 \left(\frac{F_{r2}}{Y_2} - \frac{F_{r1}}{Y_1} \right)$	$F_{a1} = F_{a2} - K_a$ $F_{a2} = \frac{0,5 F_{r2}}{Y_2}$
	2a	$\frac{F_{r1}}{Y_1} < \frac{F_{r2}}{Y_2}$	$F_{a1} = F_{a2} + K_a$
	2b	$\frac{F_{r1}}{Y_1} > \frac{F_{r2}}{Y_2}$ $K_a > 0,5 \left(\frac{F_{r1}}{Y_1} - \frac{F_{r2}}{Y_2} \right)$	$F_{a2} = \frac{0,5 F_{r2}}{Y_2}$
	2c	$\frac{F_{r1}}{Y_1} > \frac{F_{r2}}{Y_2}$ $K_a < 0,5 \left(\frac{F_{r1}}{Y_1} - \frac{F_{r2}}{Y_2} \right)$	$F_{a1} = \frac{0,5 F_{r1}}{Y_1}$ $F_{a2} = F_{a1} - K_a$

e. On calcule alors la charge dynamique équivalente
 - si $\frac{F_{ae}}{F_r} < e$ on négligera la charge axiale et :
 $P = F_r$

$$\text{- si } \frac{F_{xc}}{F_r} > e \rightarrow P = xF_r + yF_x$$

4.3.3 LA DURÉE DE VIE NOMINALE EN HEURES [8]

$$L_h = \frac{16666}{n} \left(\frac{C}{P} \right)^{\frac{10}{3}}$$

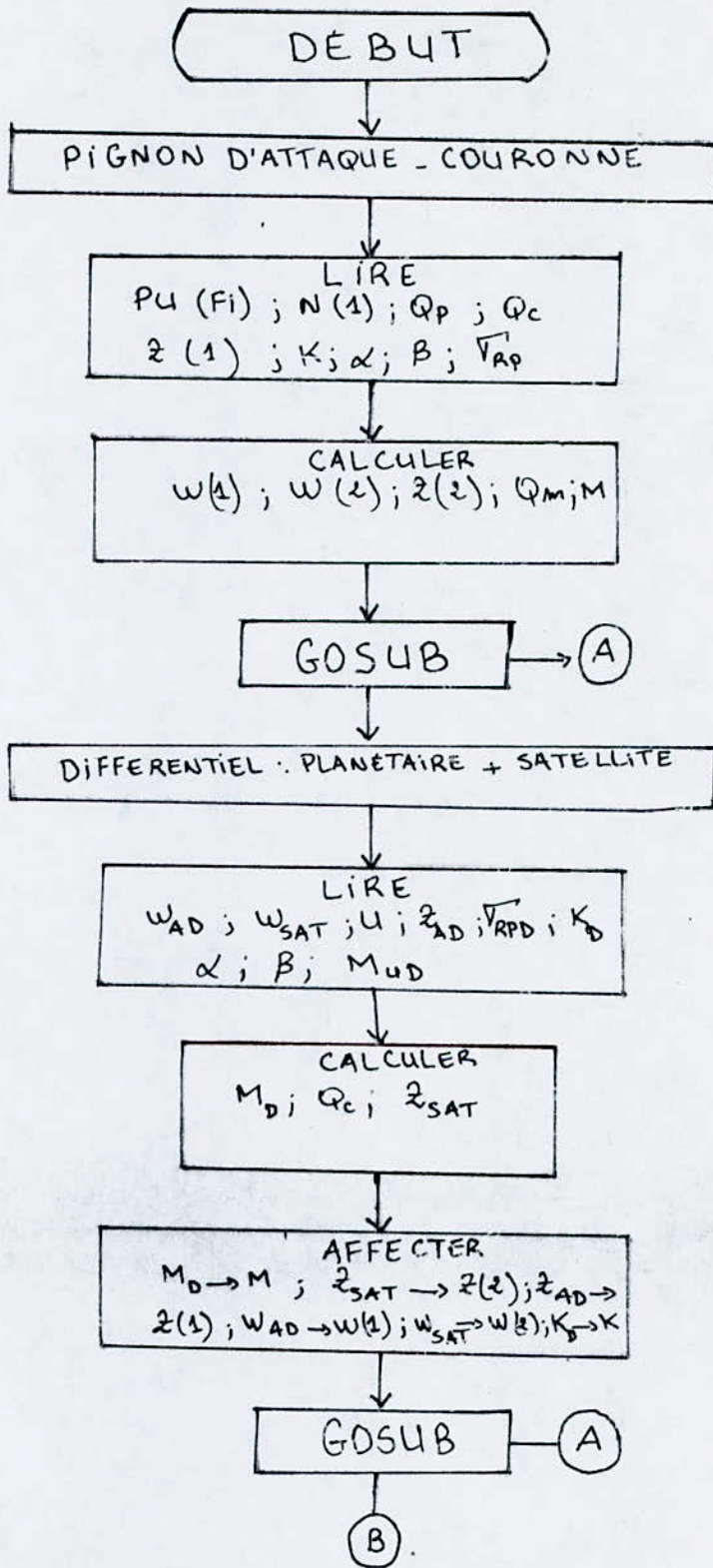
$$\text{- arbre pignon } m_1 = \frac{30w_1}{\pi}$$

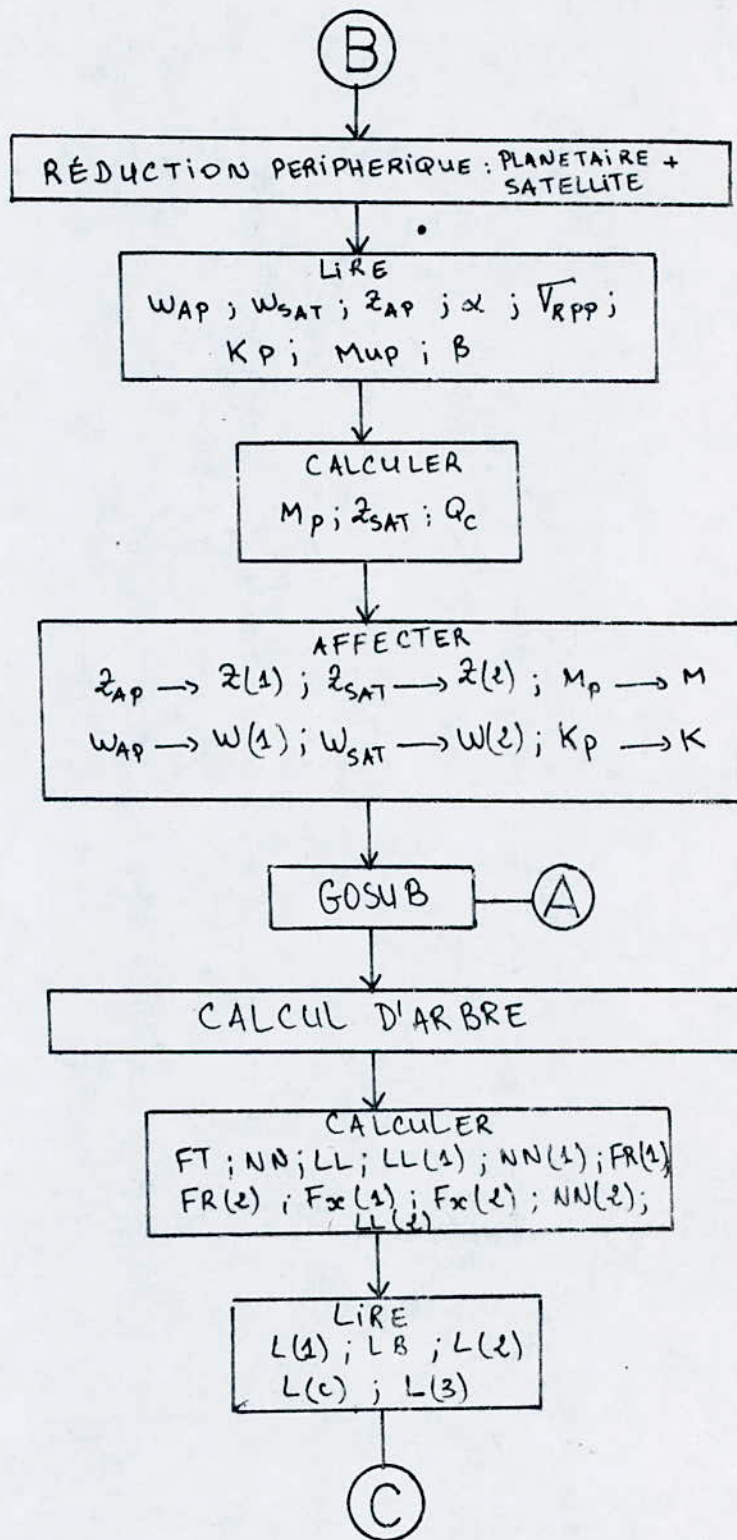
$$\text{- demi-arbre moteur } m_2 = \frac{30w_2}{\pi} = \frac{30w_1}{Q_c \pi}$$

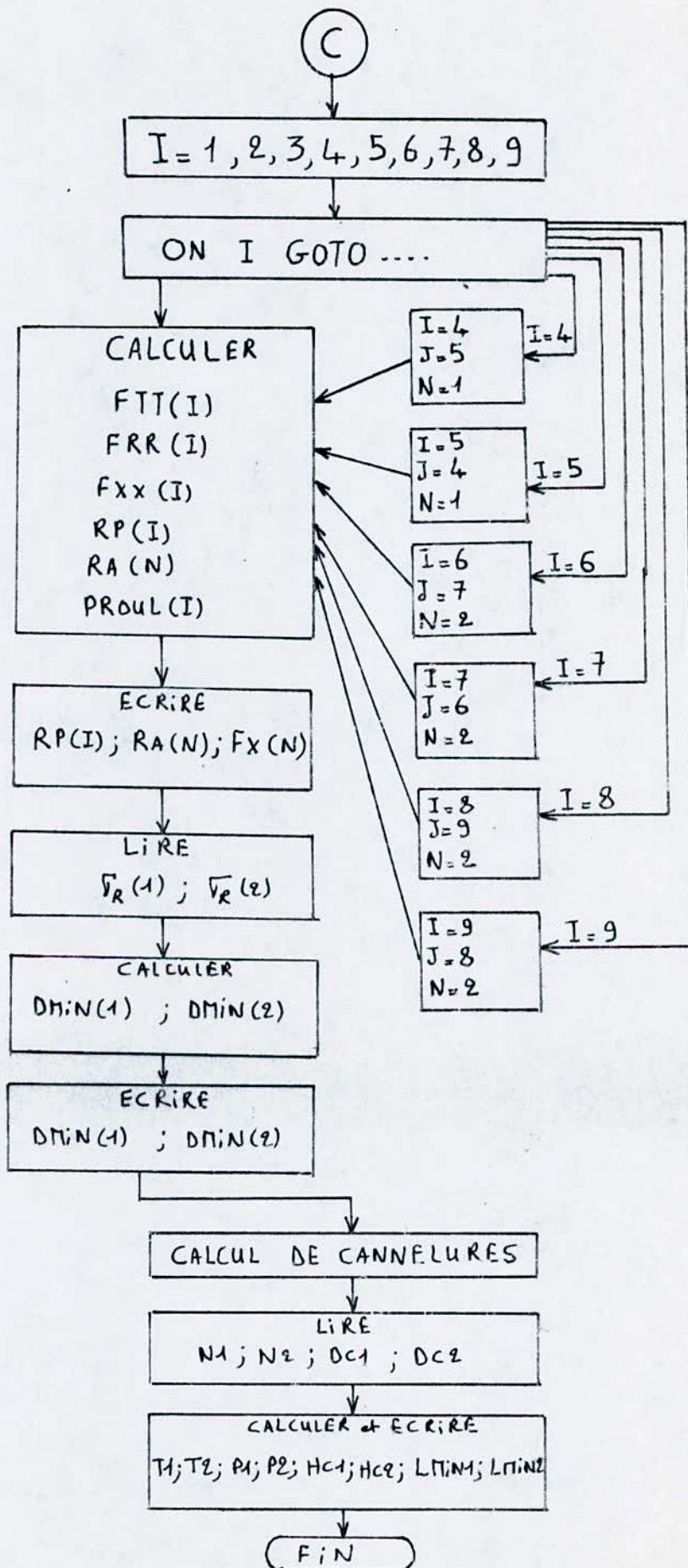
4.3.4 AJUSTEMENT [8]

- Les dimensions des roulements sont fixées par le constructeur .
- Le montage considéré est du type "arbre fixe"
 - Tolérances relatives à l'arbre :
J5 ou h5 .
 - Tolérances relatives au logement :
P6 ou P7 .

ORGANIGRAMME







A

Sous-PROGRAMME DE CALCUL DES DIMENSIONS DE L'ENGRENAGE CONIQUE; DE CORRECTION ET DE CALCUL DE DENTURE A LA RESISTANCE.

I = 1, 2

CALCULER et ECRIRE
 $S(I)$; $D(I)$; $DA(I)$; $DF(I)$; $DB(I)$; $HA(I)$; $HF(I)$
 $\alpha_a(I)$; $S_a(I)$; $\delta_f(I)$; $OC(I)$; $B(I)$; $C(I)$; $DM(I)$
z_{plm}

NEXT I

CORRECTION DE DENTURE

$z_1 + z_2 \leq 2z_{plm}$

OUI
Correction avec V.E

I = 1, 2

CALCULER et ECRIRE
 A ; A' ; α' ; λ ; $x(1)$; $x(2)$
 KM ; $D'(I)$; $DB'(I)$;
 $DA'(I)$; $DF'(I)$; M' ; $c'(I)$;
 $HA'(I)$; $HF'(I)$; $B'(I)$;
 α'_a ; $OC'(I)$; $DM'(I)$

NEXT I

NON
Correction sans V.E

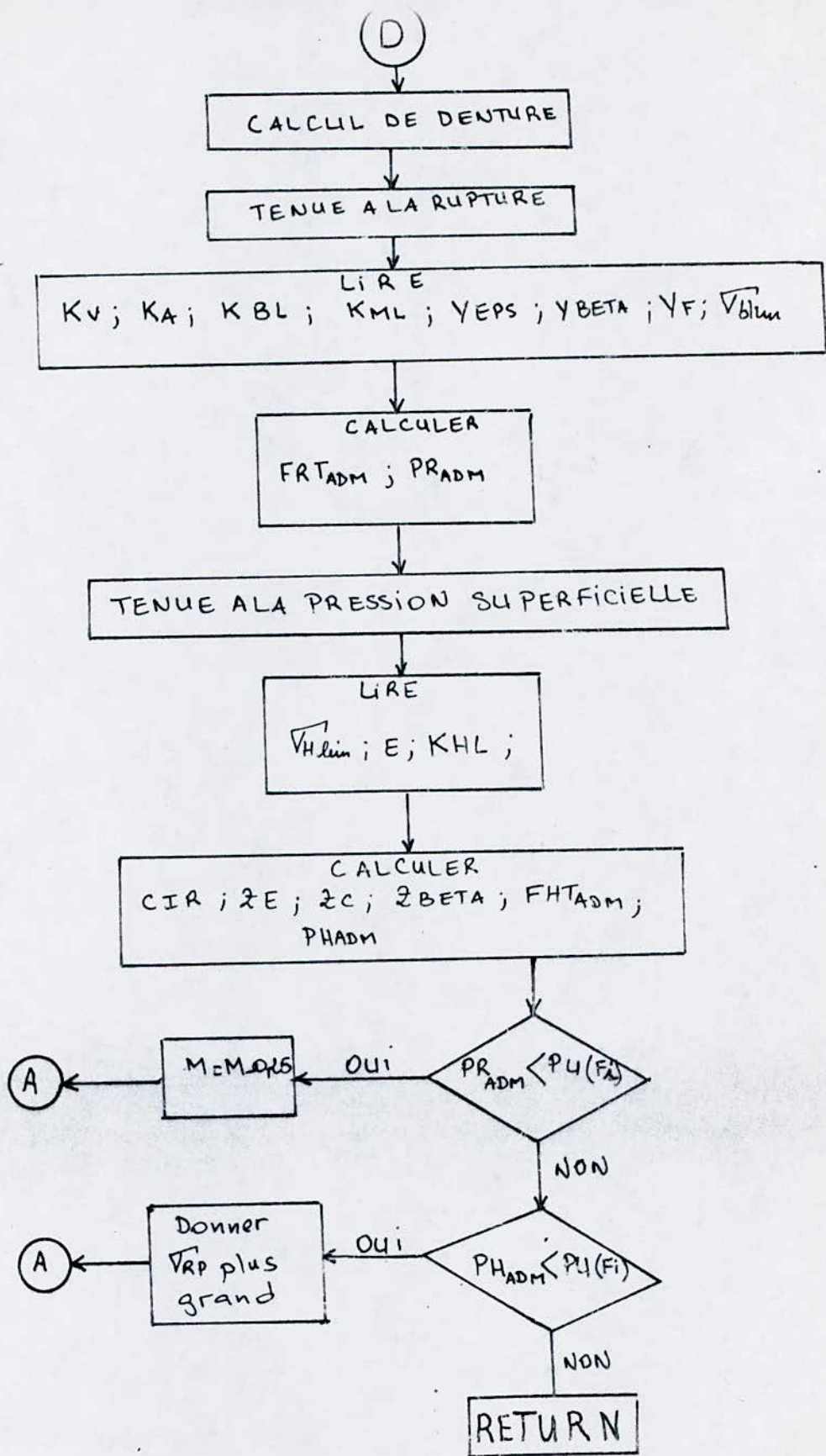
I = 1, 2

CALCULER et ECRIRE
 $x(1)$; $HA_c(I)$;
 $HFC(I)$; $DAC(I)$;
 $DFC(I)$; $OC(I)$;
 $SAC(I)$; $S_{FC}(I)$

NEXT I

CALCULER
 $E_\alpha(1)$; $E_\alpha(2)$; E_β ; E_γ

D



EXPLOITATION DES RÉSULTATS :

Les résultats obtenus par ce calcul se trouvent dans l'intervalle des dimensions des organes constituant les ponts utilisés couramment sur les camions.

Il serait toutefois meilleur, pour la réalisation effective du pont considéré, de tenir compte des contraintes relatives aux aspects techniques liés aux conditions de montage, ainsi les valeurs obtenues seraient corrigées en fonction de ces considérations.

L'exploitation de ces résultats donnerait une première approche sur le pont, par lequel on veut compléter la chaîne cinématique d'un véhicule; on est alors en mesure d'effectuer une esquisse qui nous permettrait d'établir un dessin d'ensemble.

En guise de commentaire, nous dirons que les résultats sont acceptables et cohérents dans leur ensemble.

CONCLUSION

Toute conception industrielle est basée sur des compromis de choix, des paramètres de base ; à partir desquels les calculs sont effectués.

Chaque constructeur adopte un compromis bien précis, qu'il juge optimal pour effectuer ses calculs de conception ; et ce n'est que par l'expérience que ce jugement est confirmé.

Ce qui explique la nature itérative de tout travail de conception, d'où la nécessité d'utiliser les moyens informatiques pour libérer le concepteur des tâches fastidieuses des calculs répétés, et de lui permettre de concentrer ces efforts et consacrer son temps au travail d'analyse et de synthèse.

Dans ce contexte, on a associé un logiciel effectuant les différentes opérations relatives au calcul de dimensionnement.

Tout cela nous a permis d'avoir une vue d'ensemble, sur le parcours à suivre dans une étude de dimensionnement d'un système technique donné.

Ainsi, à travers cette étude, nous avons acquis une certaine expérience quoique minime dans le domaine ; ce qui constitue pour nous une bonne initiation à notre future vie pratique d'ingénieur.

BIBLIOGRAPHIE

- /1/ TRAITE THEORIQUE ET PRATIQUE DES ENGRENAGES G HENRIOT
TOME 1 EDITION DUNOD 1983
- /2/ TRAITE THEORIQUE ET PRATIQUE DES ENGRENAGES G HENRIOT
TOME 2 EDITION DUNOD 1983
- /3/ ELEMENT DE MACHINES M SZWARCZMAN EDITION LAVOISIER 1983
- /4/ MANUEL PRATIQUE DES ENGRENAGES G HENRIOT EDITION DUNOD 1965
- /5/ COUR DE RDM 3eme ANNEE G-MECANIQUE M SCIASEK E.N.P 1987
- /6/ TECHNIQUE DE L'INGENIEUR B622 B675 Ti 1988
- /7/ LA CONSTRUCTION MECANIQUE QUATREMER TOME1 AENOR 1978
- /8/ GUIDE DU DESSINATEUR INDUSTRIEL A CHEVALIER
EDITION HACHETTE 1979
- /9/ PROGRAMMATION BASIC GOTTERIED EDITION MAC GRAWHILL 1984
- /10/ ELEMENTS DE CONSTRUCTION K PRUDHOMME TOME3
EDITION DUNOD 1971
- /11/ ELEMENTS DE CONSTRUCTION F BERNARD TOME4
EDITION DUNOD 1971
- /12/ ELEMENTS DE CONSTRUCTION F BERNARD TOME7
EDITION DUNOD 1971
- /13/ MECANIQUE TERMINALE JL FANCHON APPLICATIONS INFORMATIQUES
EDITION NATHAN TECHNIQUE 1985

